# Transformações Projetivas

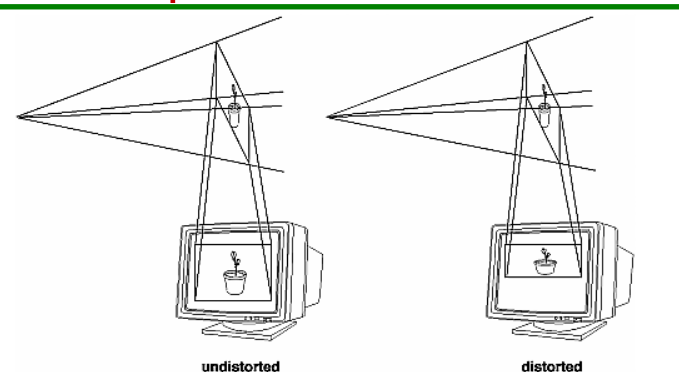
Hughes et al. Caps. 12 e 13

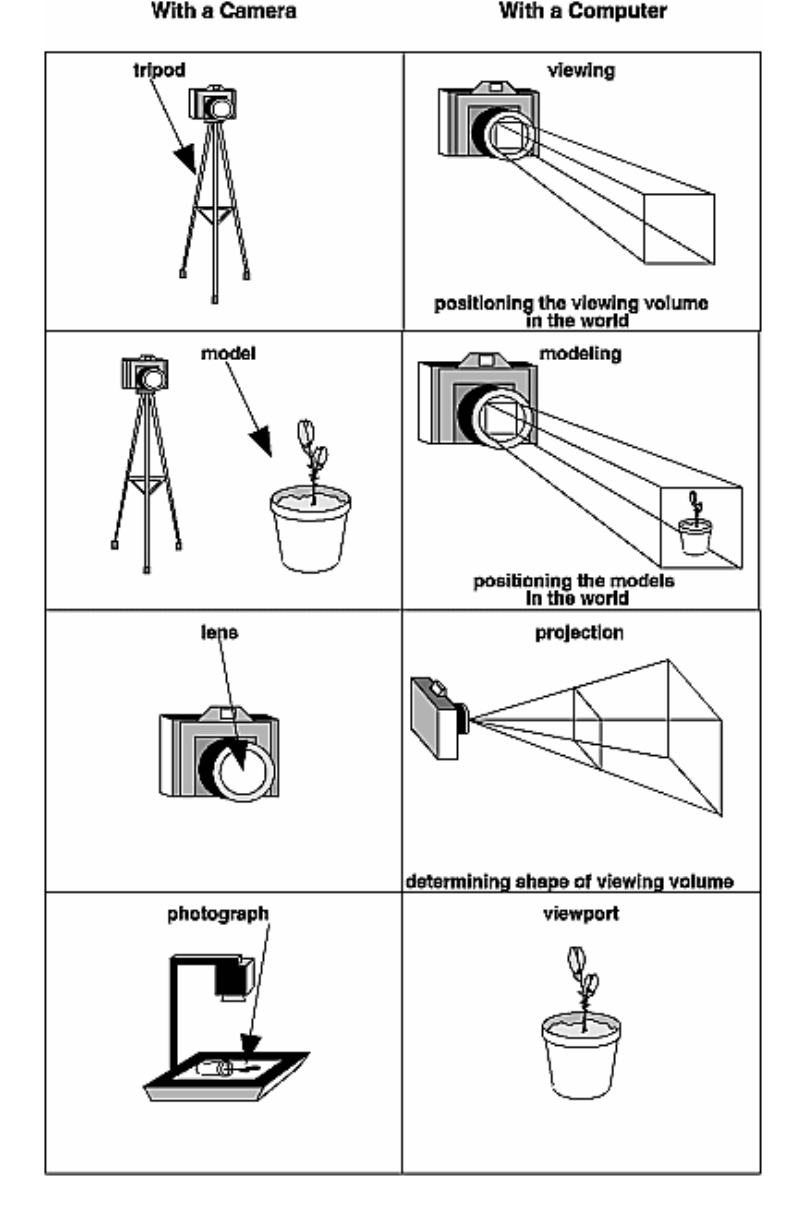
IA725 – Primeiro Semestre de 2016 PE - 22

Profa. Ting

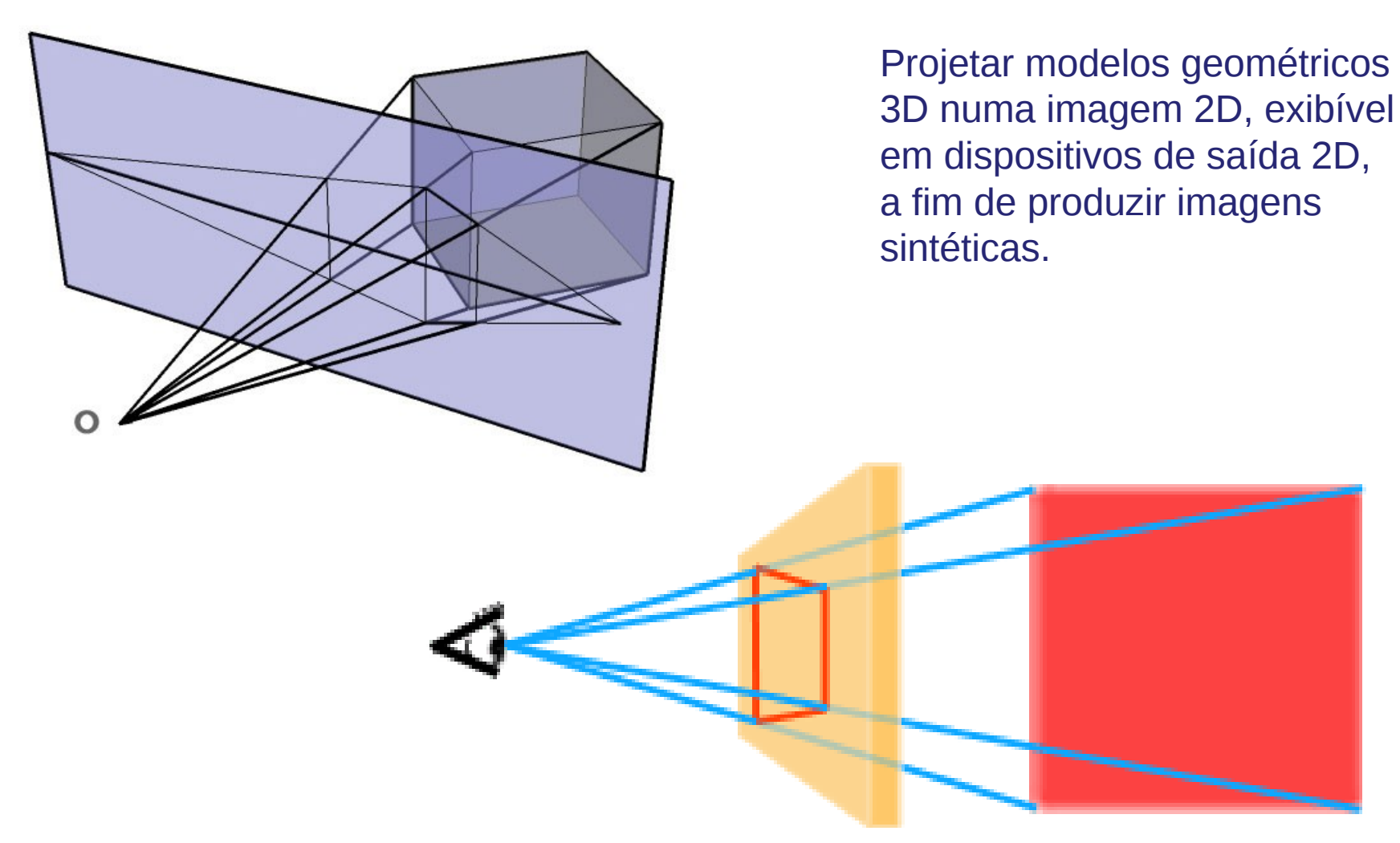
# Transformações Geométricas

- Posicionar os blocos constituintes de uma cena
  - Alterar as coordenadas dos pontos
- Projetar a cena sobre o plano de imagem
  - Alterar as coordenadas dos pontos
- Enquadrar a cena na janela de exibição
  - Alterar as coordenadas dos pontos

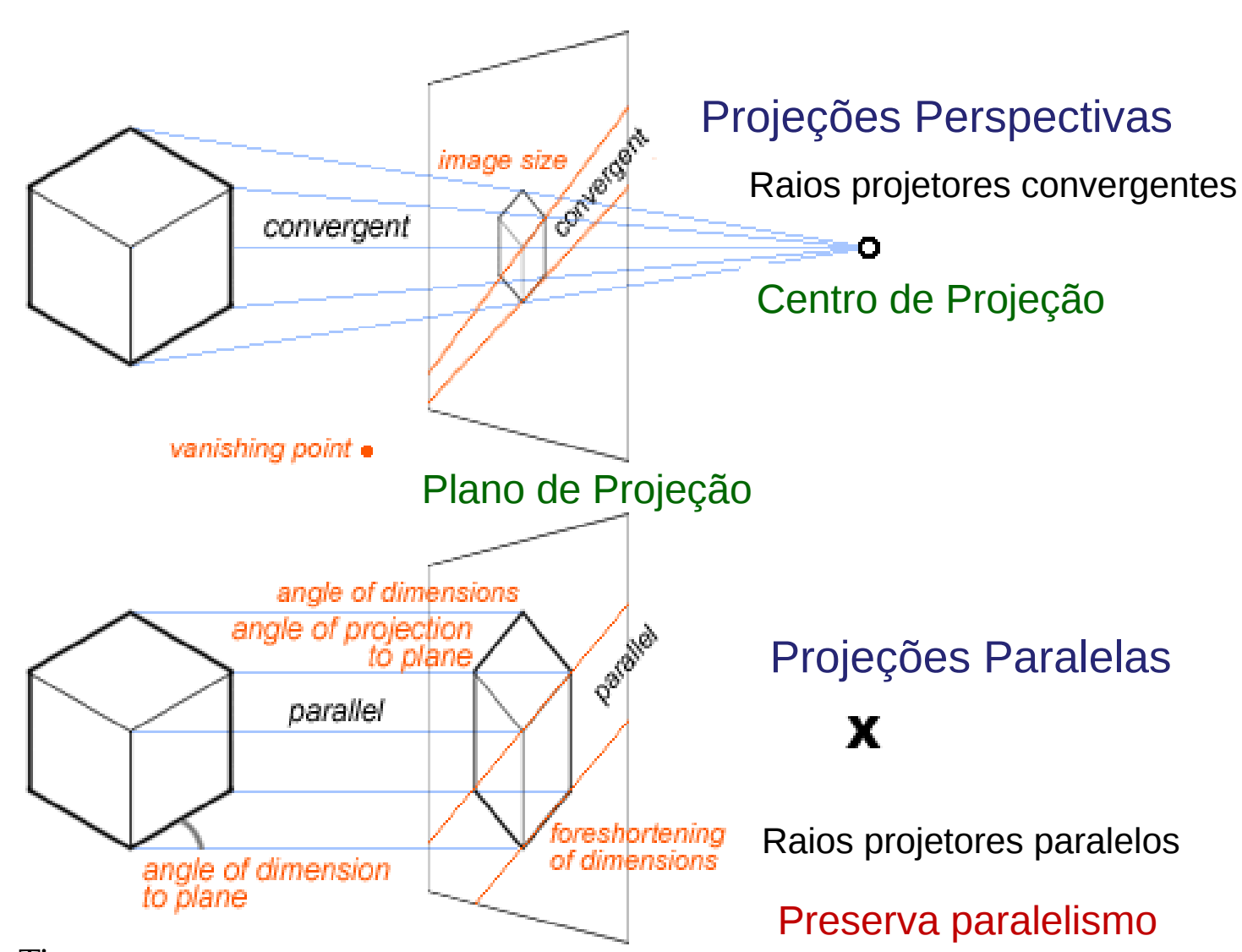




# Transformações Projetivas



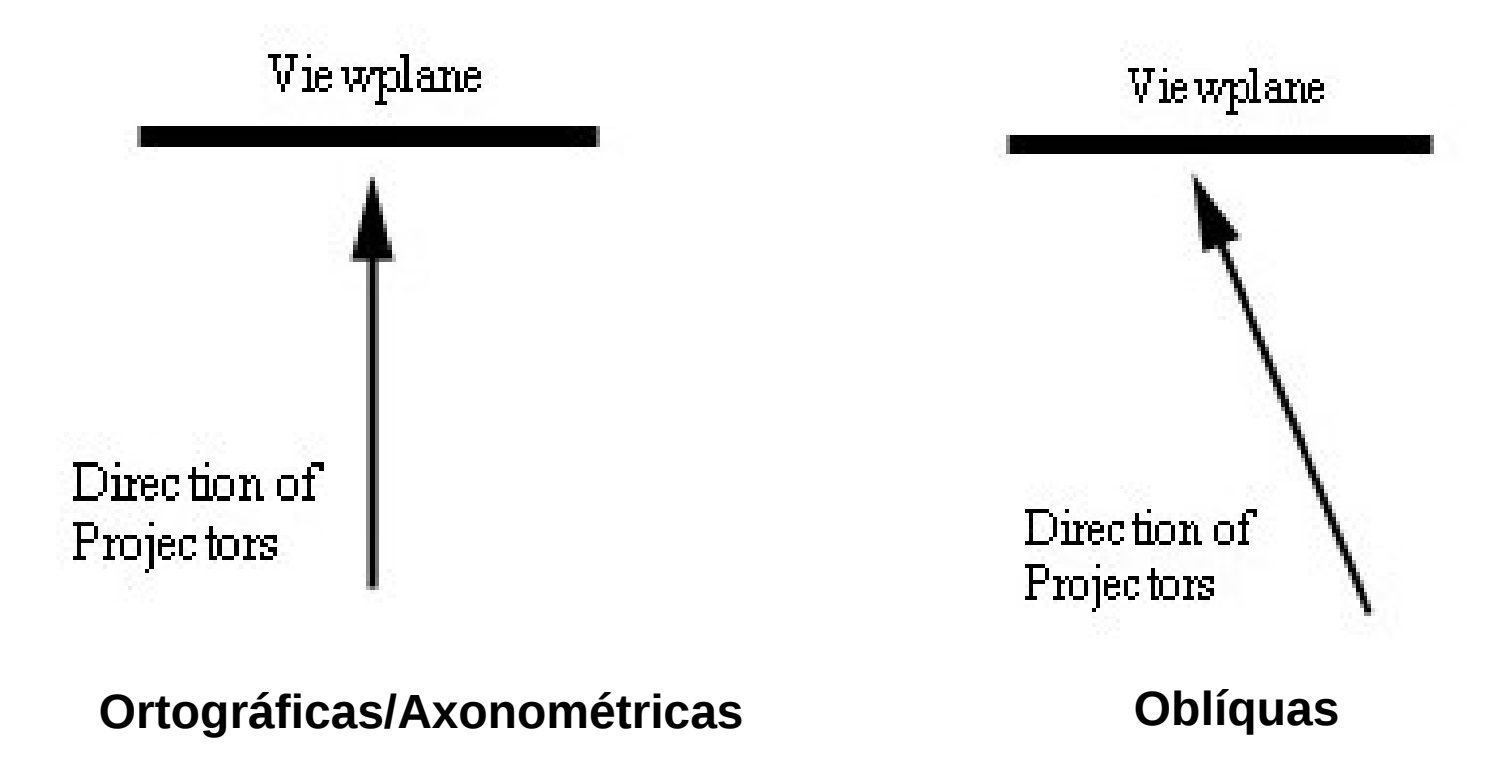
### Uma Visão Clássica



IA725 - 1s2016 - Ting

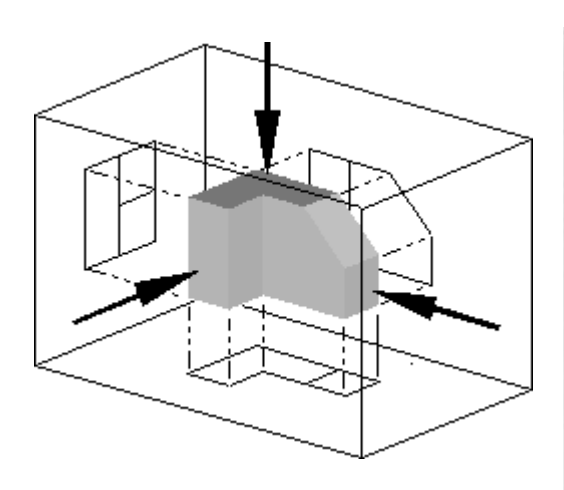
Direção de Projeção

### Projeções Paralelas



### Projeções Ortográficas

Desenhos técnicos: preserva a relação das medidas

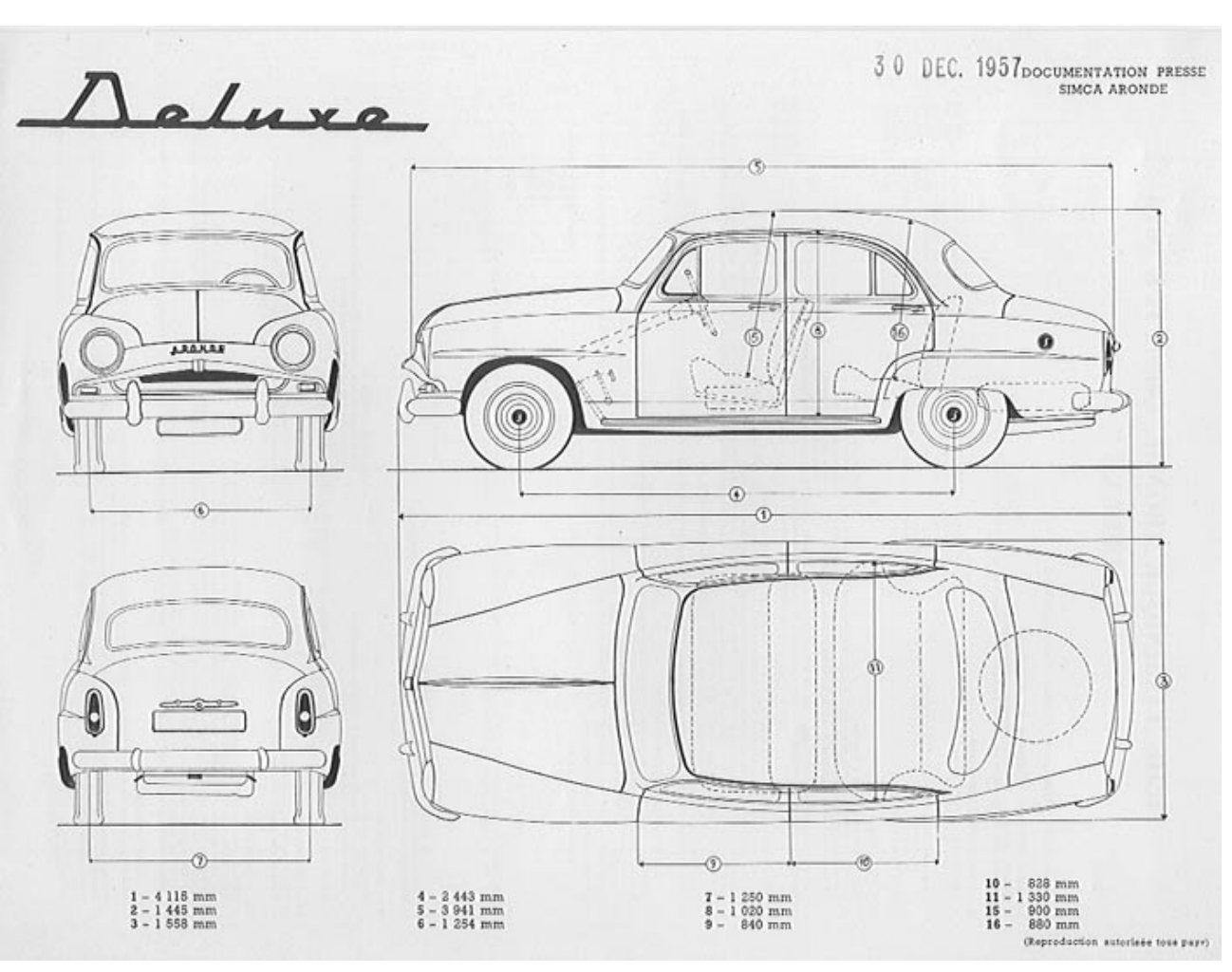


$$f_x = 1$$

$$f_y = 1$$

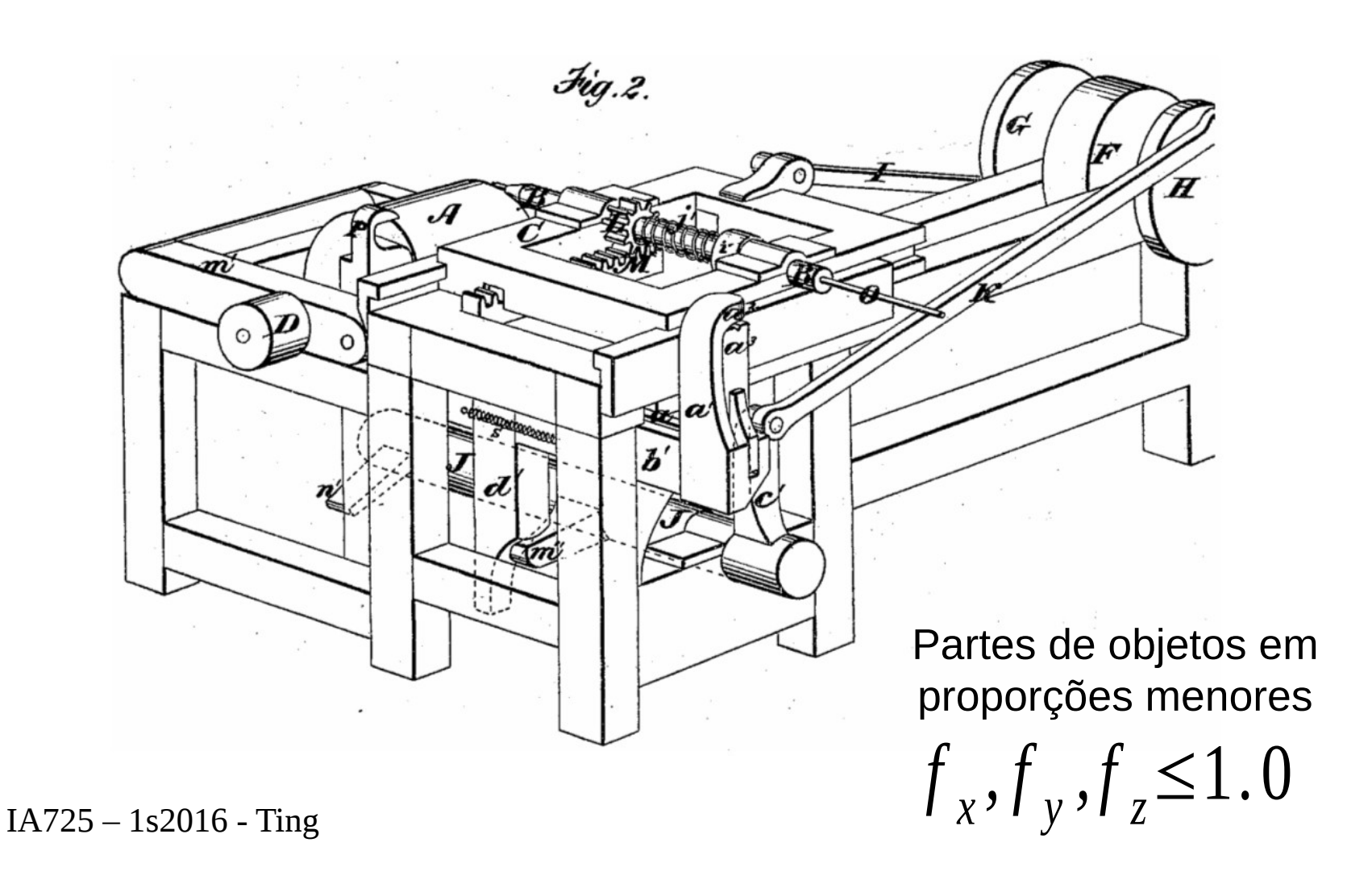
$$f_z = 1$$

IA725 – 1s2016 - Ting



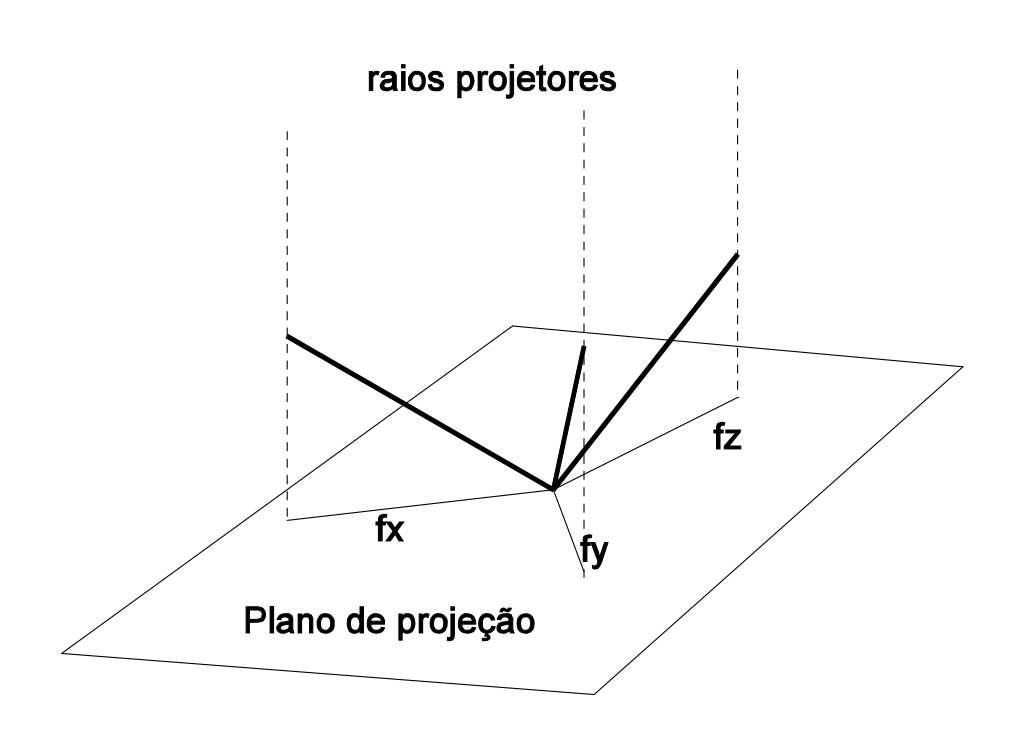
### Projeções Axonométricas

Escorços: provêem melhor percepção de profundidade



# Projeções Axonométricas

fator de redução < 1.0



Projeção no plano z=0

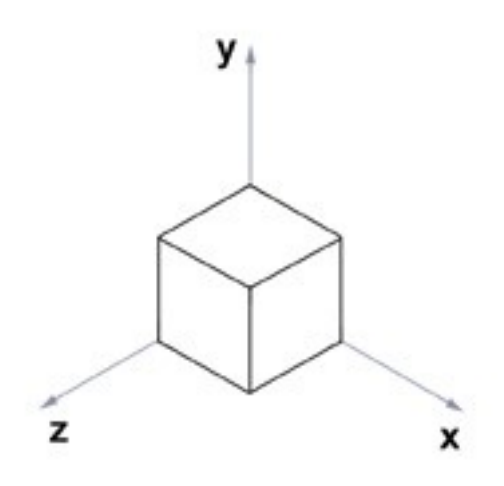
$$T \begin{bmatrix}
1 & 0 & 0 \\
0 & 1 & 0 \\
0 & 0 & 1
\end{bmatrix} = \begin{bmatrix}
x_x & y_x & z_x \\
x_x & y_x & z_x \\
0 & 0 & 0
\end{bmatrix}$$

$$f_{x} = \sqrt{x_{x}^{2} + y_{x}^{2}}$$

$$f_{y} = \sqrt{x_{y}^{2} + y_{y}^{2}}$$

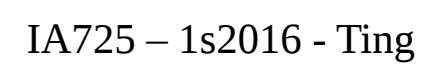
$$f_{z} = \sqrt{x_{z}^{2} + y_{z}^{2}}$$

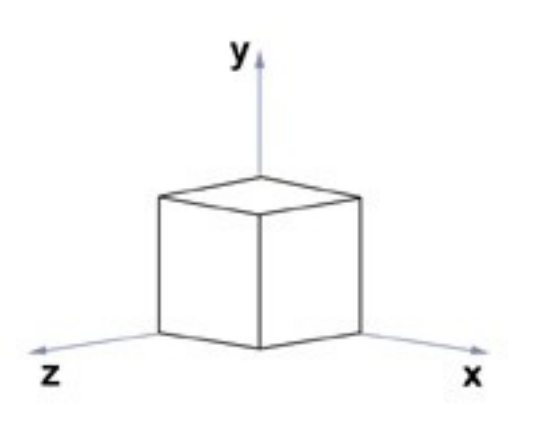
### Projeções Axonométricas



Isométricas

$$f_x = f_y = f_z$$



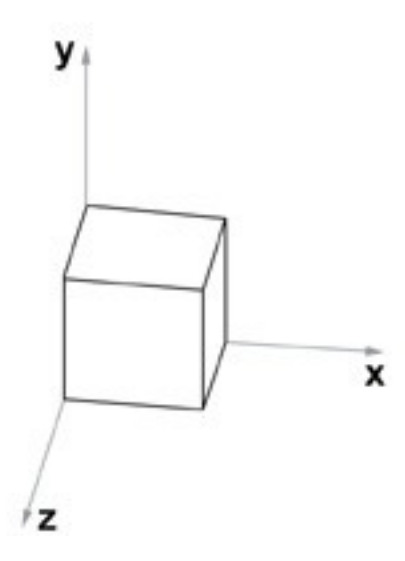


Dimétricas

$$f_{x} = f_{y}$$

$$f_{x} = f_{z}$$

$$f_{z} = f_{y}$$



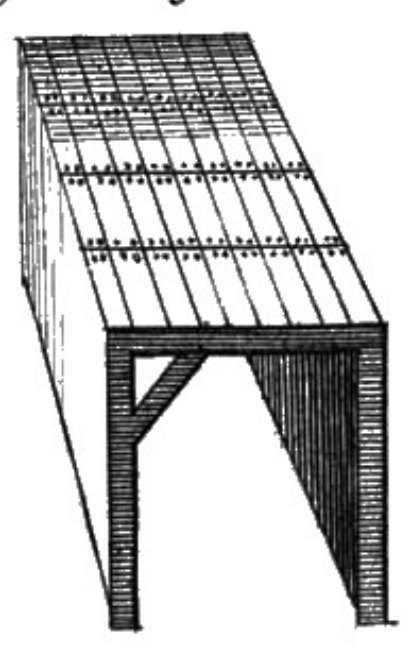
**Trimétricas** 

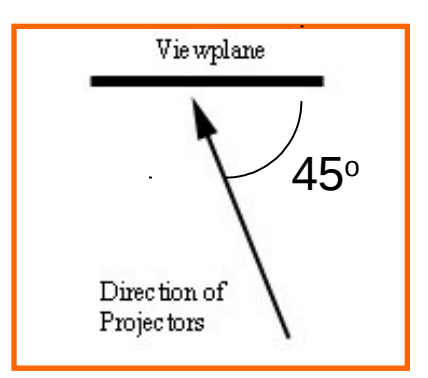
$$f_x \neq f_y \neq f_z$$

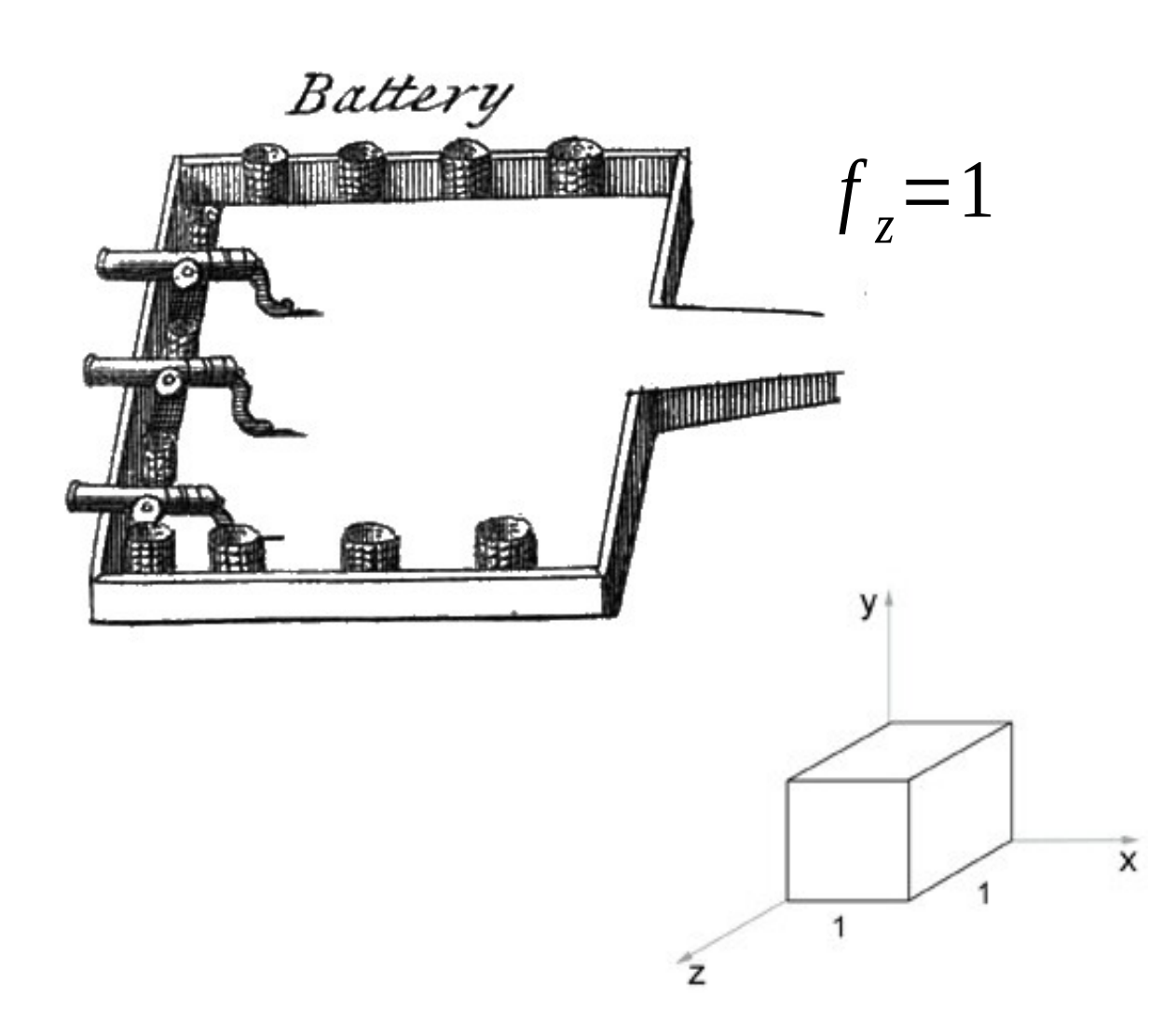
### Projeções Oblíquas Cavalier

"Vista Aérea": ângulo 45°

Gallery

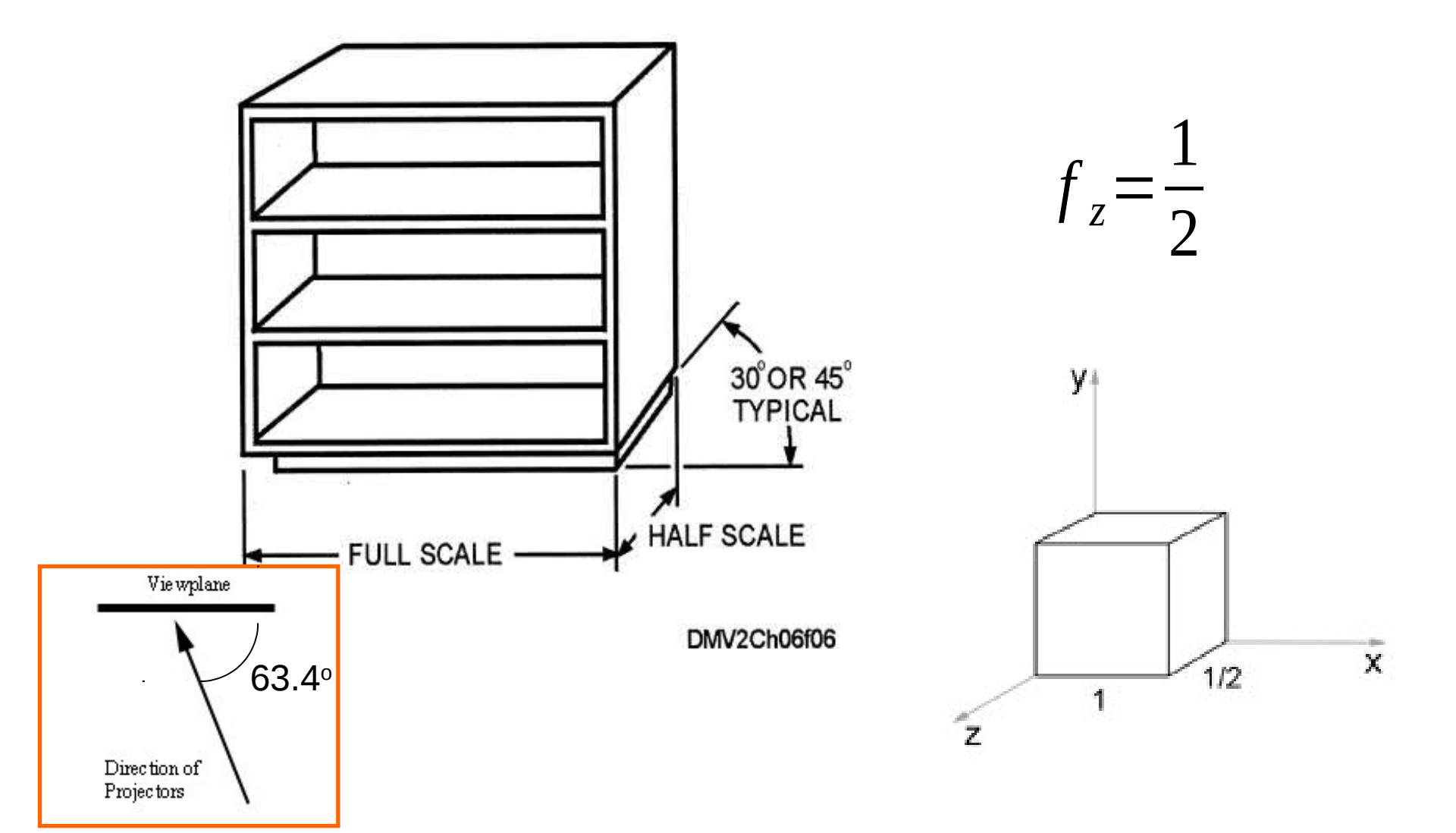






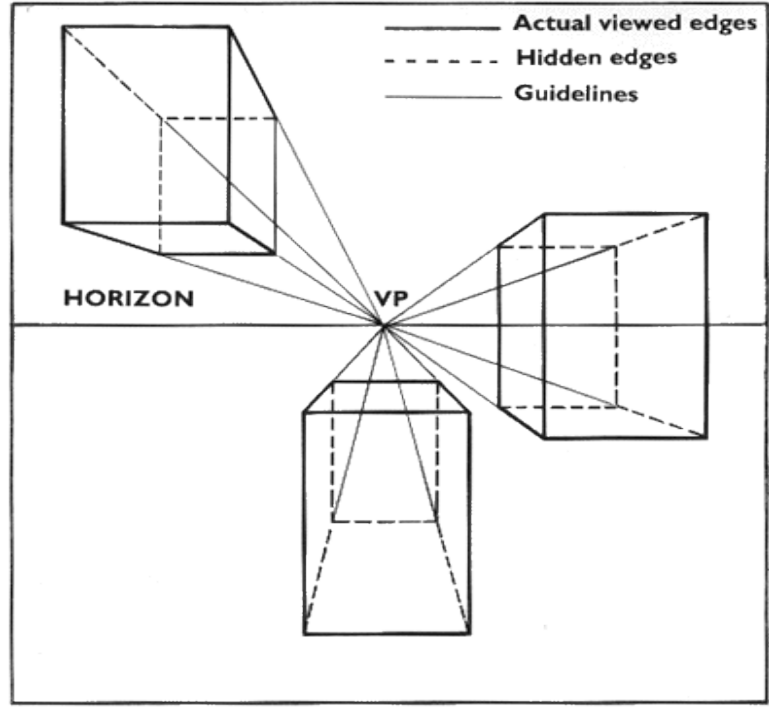
### Projeções Oblíquas Cabinet

Vista "oblíqua" de estantes: ângulo 63.4°



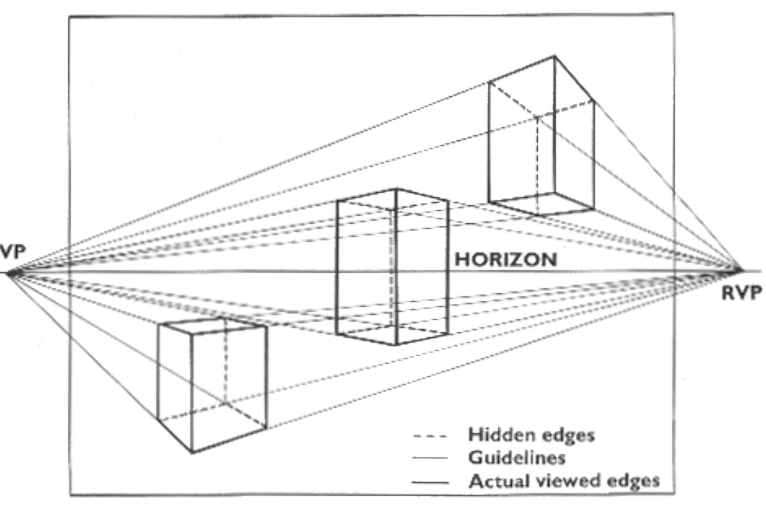
Um ponto de fuga



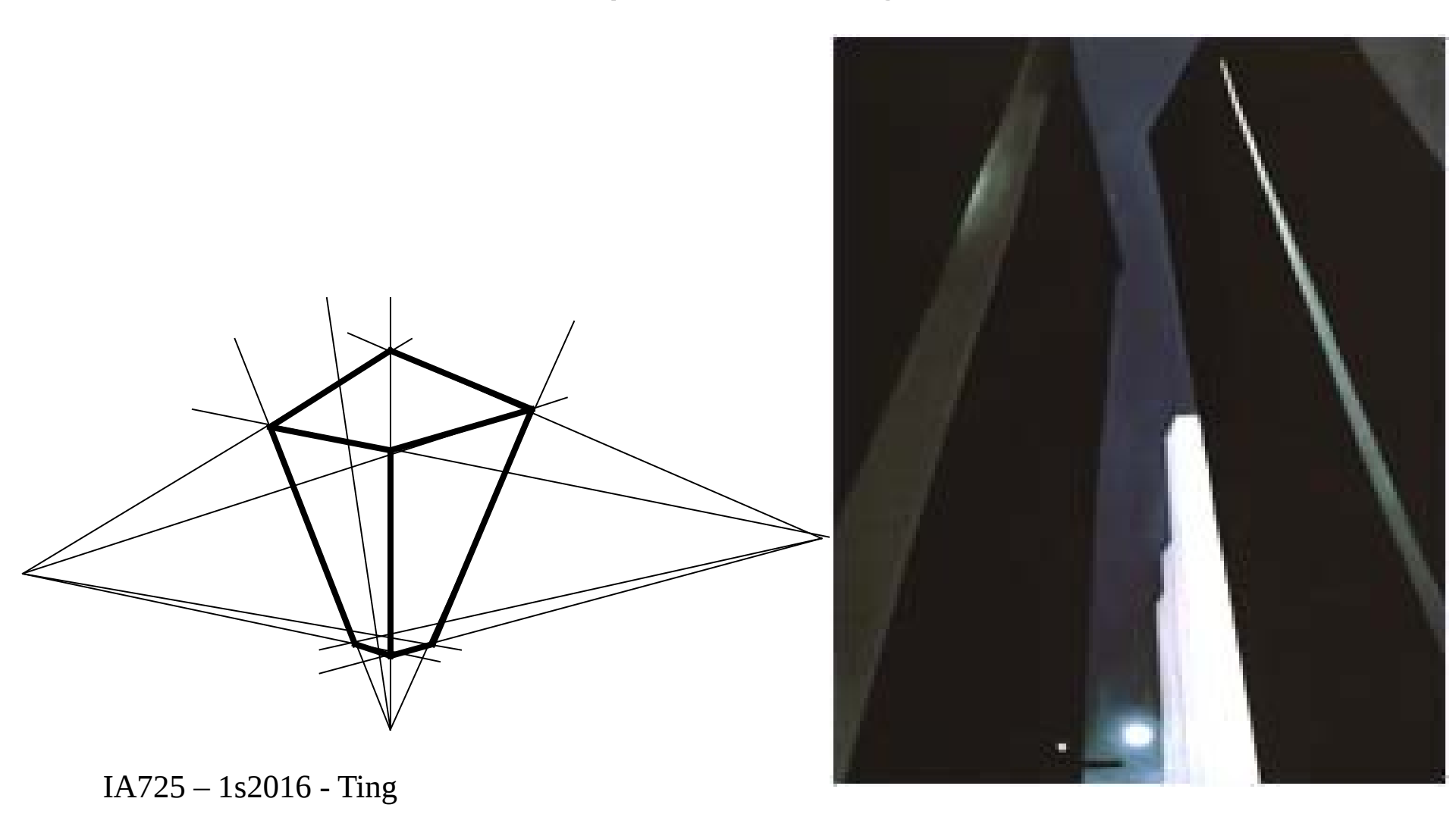


Dois pontos de fuga

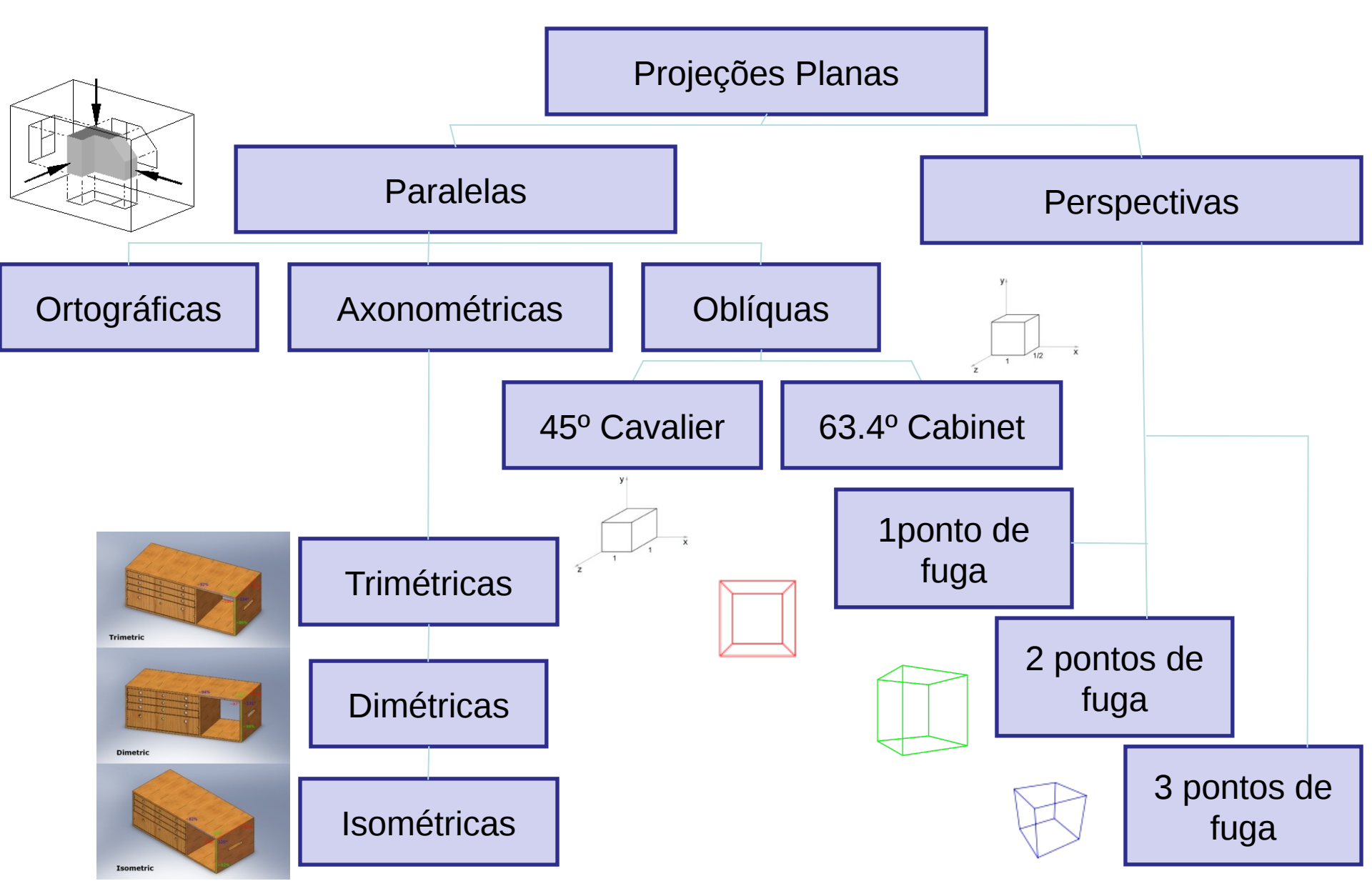




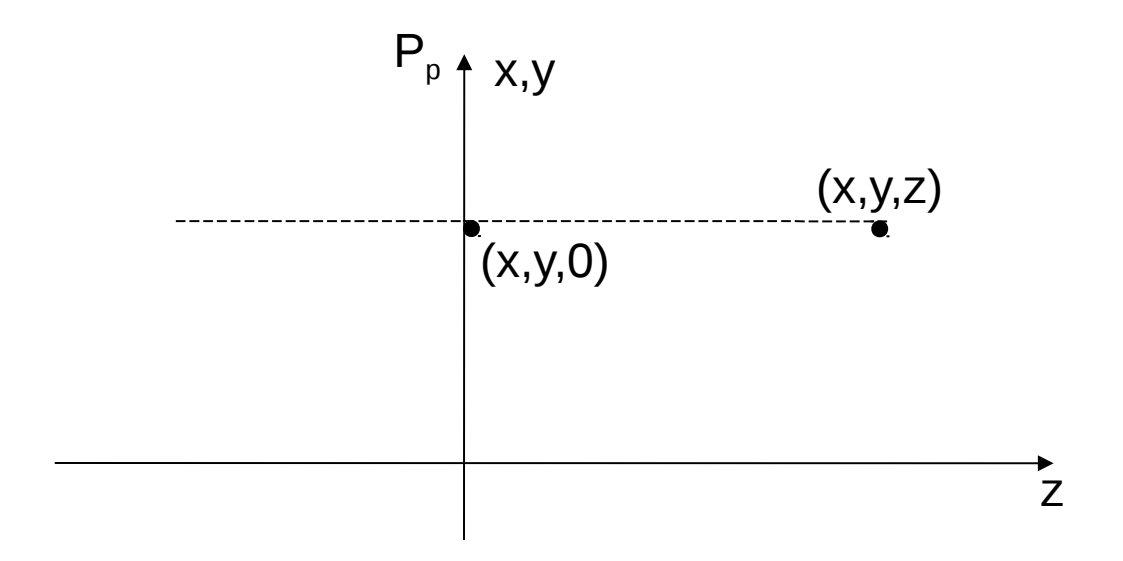
Três pontos de fuga



### **Uma Visão Clássica**

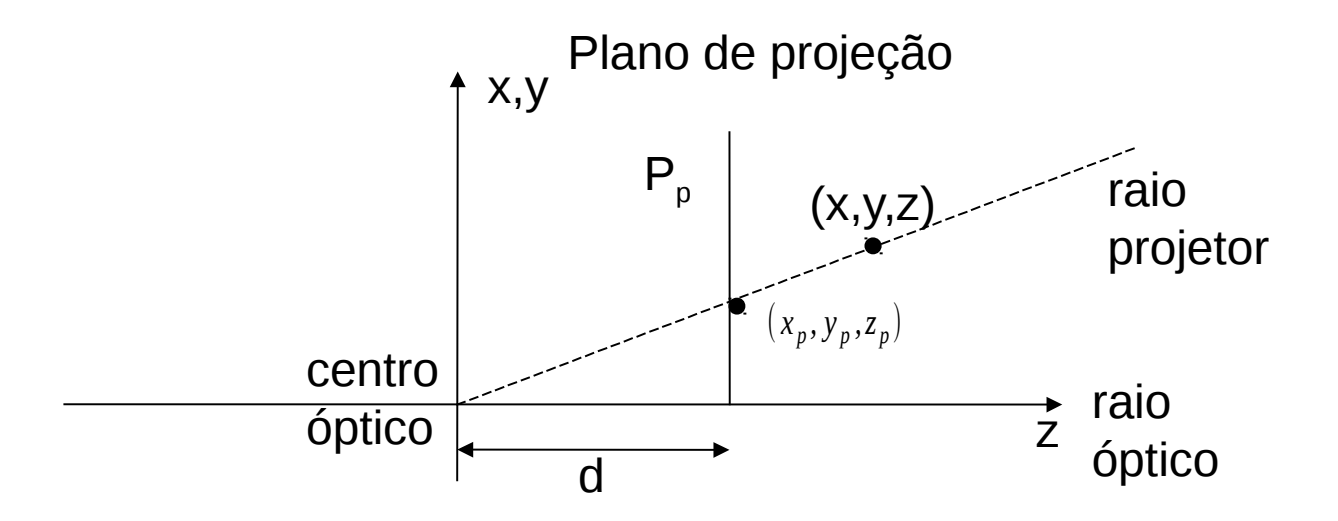


# "Algebrização"



$$\begin{bmatrix} x \\ y \\ 0 \\ 1 \end{bmatrix} = \begin{bmatrix} 1 & 0 & 0 & 0 \\ 0 & 1 & 0 & 0 \\ 0 & 0 & 0 & 0 \\ 0 & 0 & 0 & 1 \end{bmatrix} \begin{bmatrix} x \\ y \\ z \\ 1 \end{bmatrix}$$

# "Algebrização"



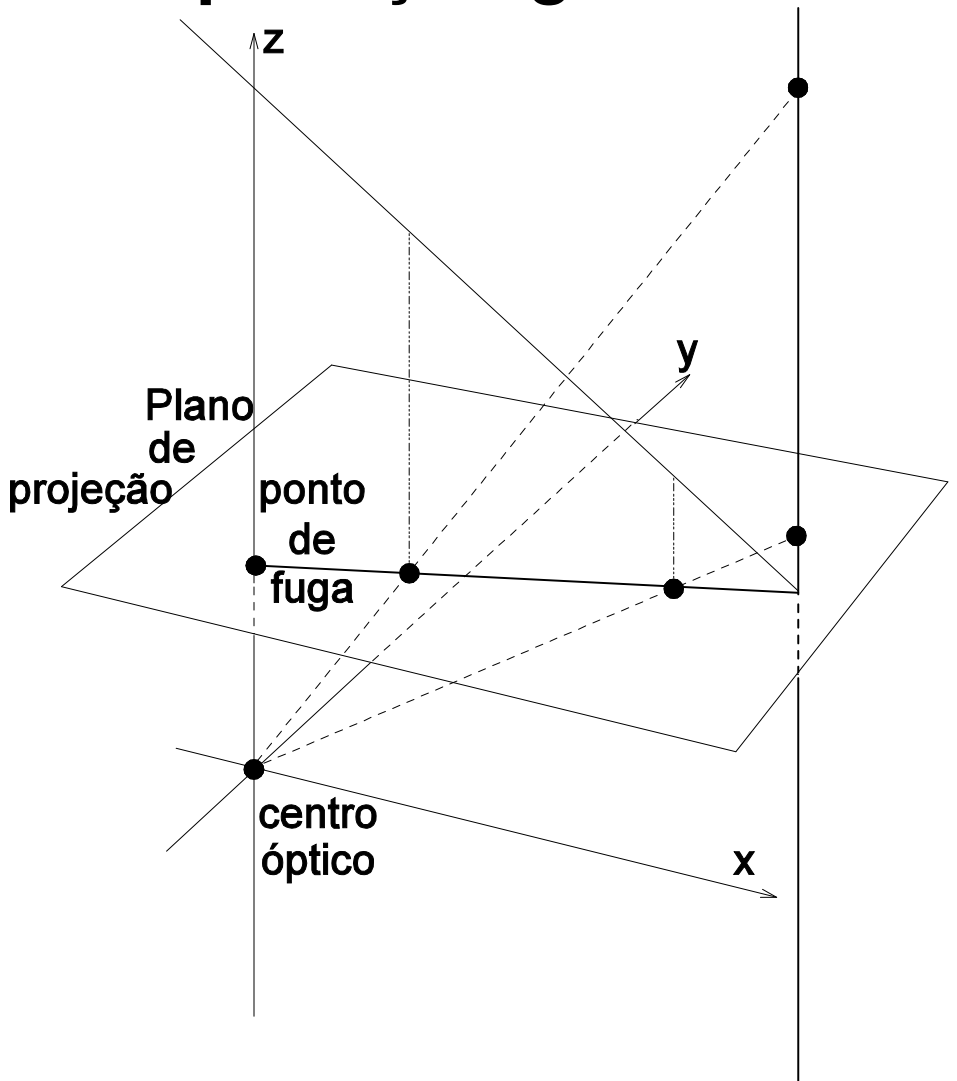
$$x_{p} = \frac{xd}{z}$$

$$y_{p} = \frac{yd}{z}$$

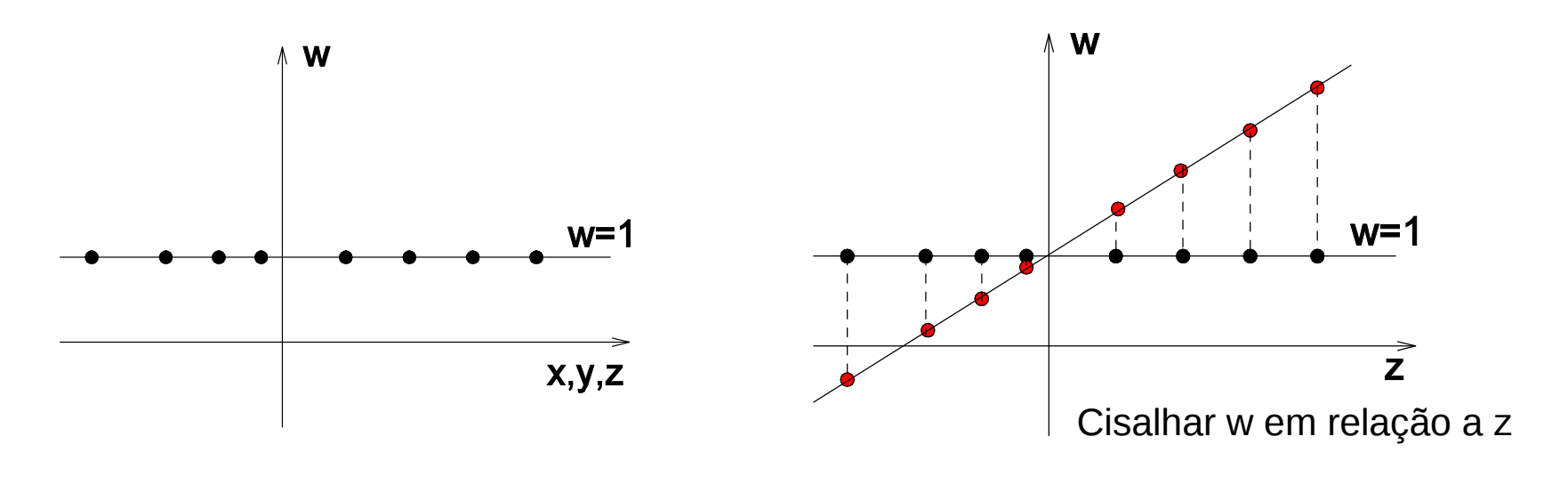
$$z_{p} = \frac{zd}{z} = d$$
IA725 – 1s2016 - Ting

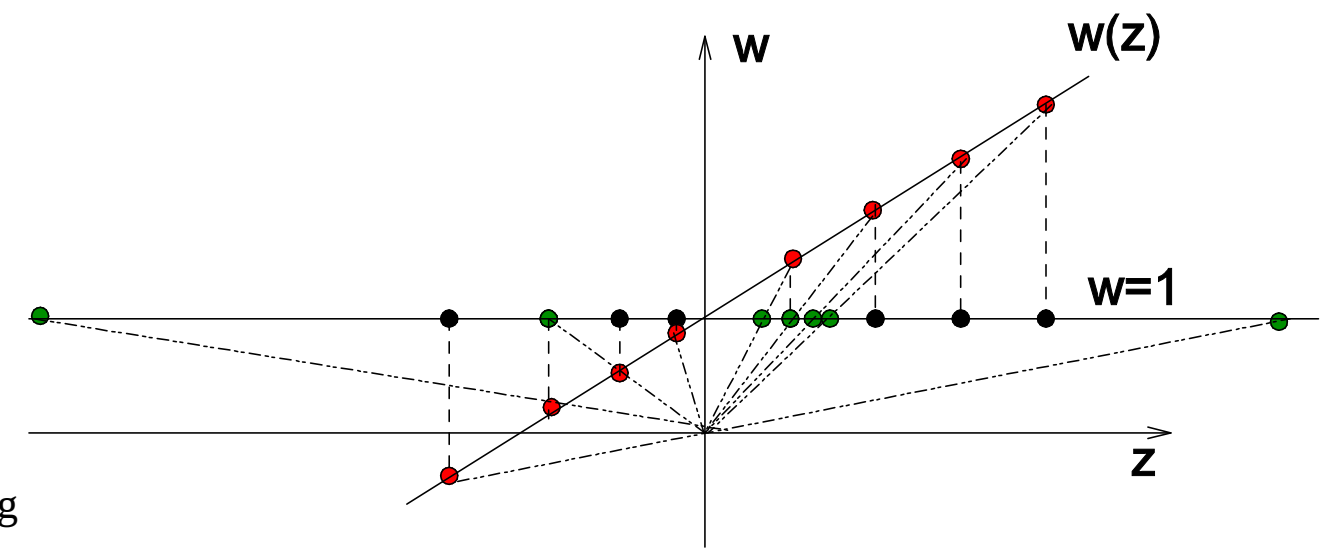
$$\begin{bmatrix} x \\ y \\ z \\ = \begin{bmatrix} 1 & 0 & 0 & 0 \\ 0 & 1 & 0 & 0 \\ 0 & 0 & 1 & 0 \\ 0 & 0 & \frac{1}{d} & 0 \end{bmatrix} \begin{bmatrix} x \\ y \\ z \\ 1 \end{bmatrix}$$

Interpretação geométrica

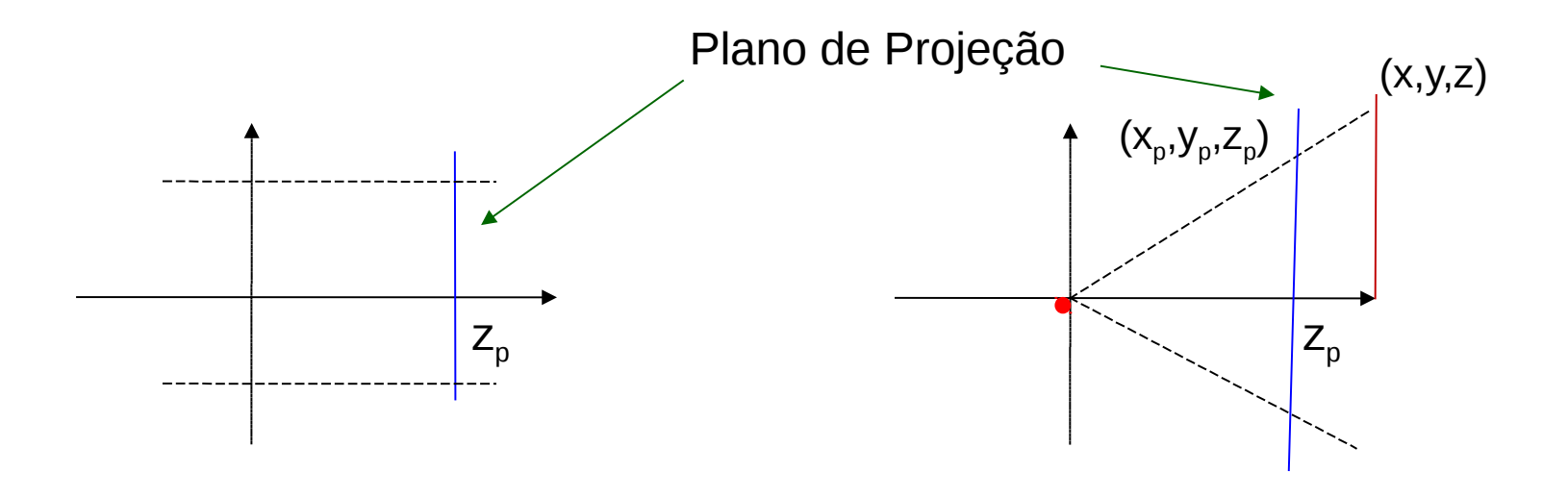


### Interpretação geométrica





# **Projeções**Casos Triviais



#### Paralela

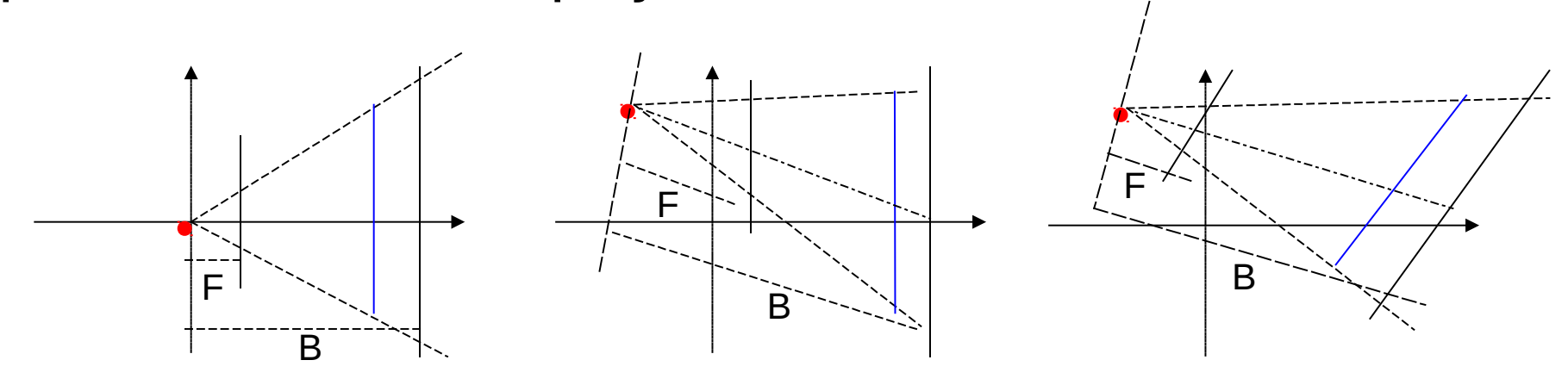
Basta substituir a coordenada z de cada ponto por  $z_0$ 

#### Perspectiva

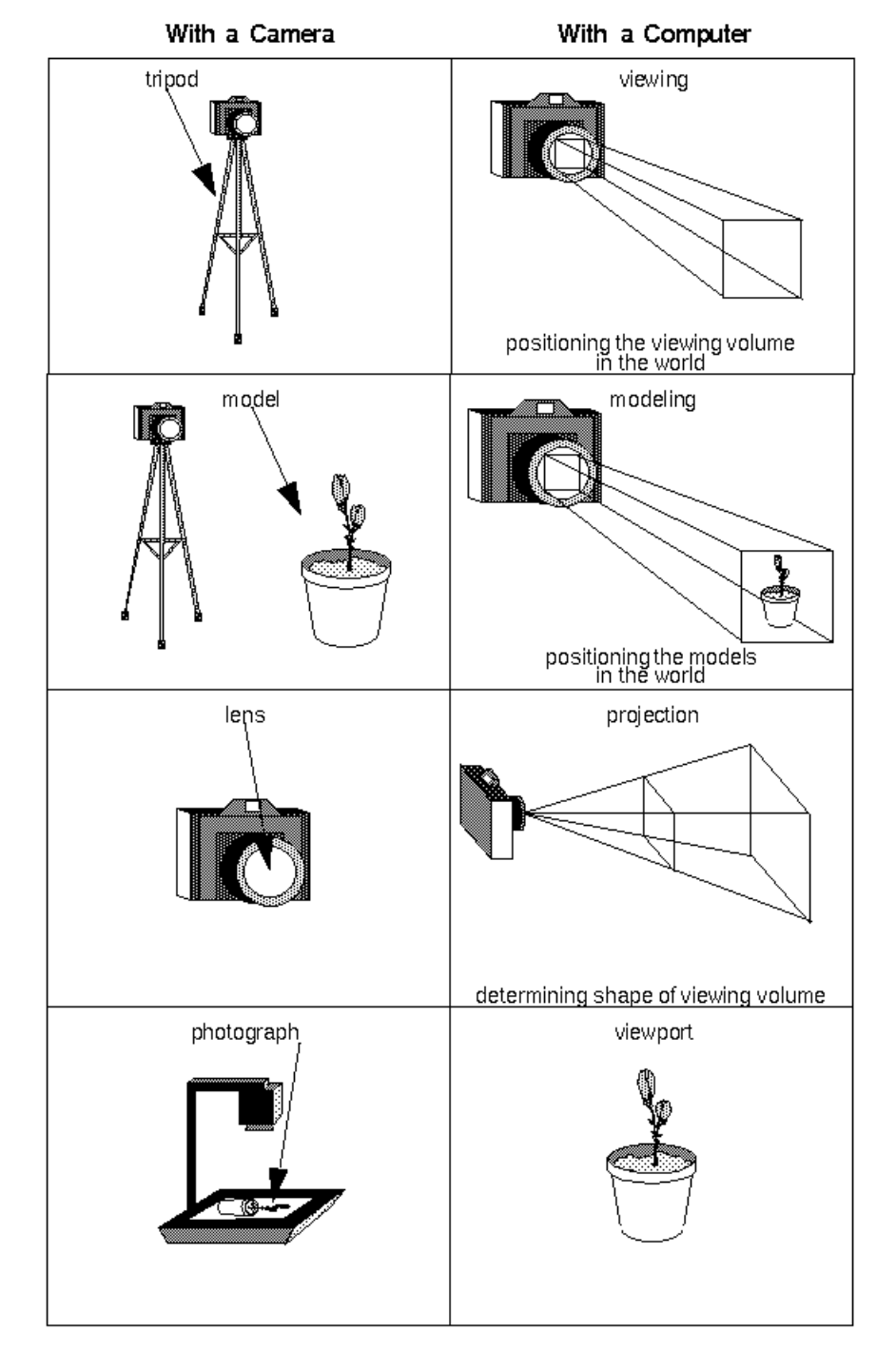
Coordenadas x, x<sub>p</sub>, y e y<sub>p</sub> coincidem com as "alturas" dos triângulos e as coordenadas z com as "bases" dos triângulos. Problema se reduz a obter relação entre estas coordenadas pela semelhança de triângulos

# **Projeções**Diversidade de Casos

- ➢Plano de projeção tem o vetor normal na direção do eixo z e o centro de projeção sobre o eixo z.
- Plano de projeção tem o vetor normal na direção do eixo z e o centro de projeção arbitrariamente posicionado.
- Tanto o plano quanto o centro são arbitrariamente posicionados no espaço.



# Paradigma: dividir para conquistar

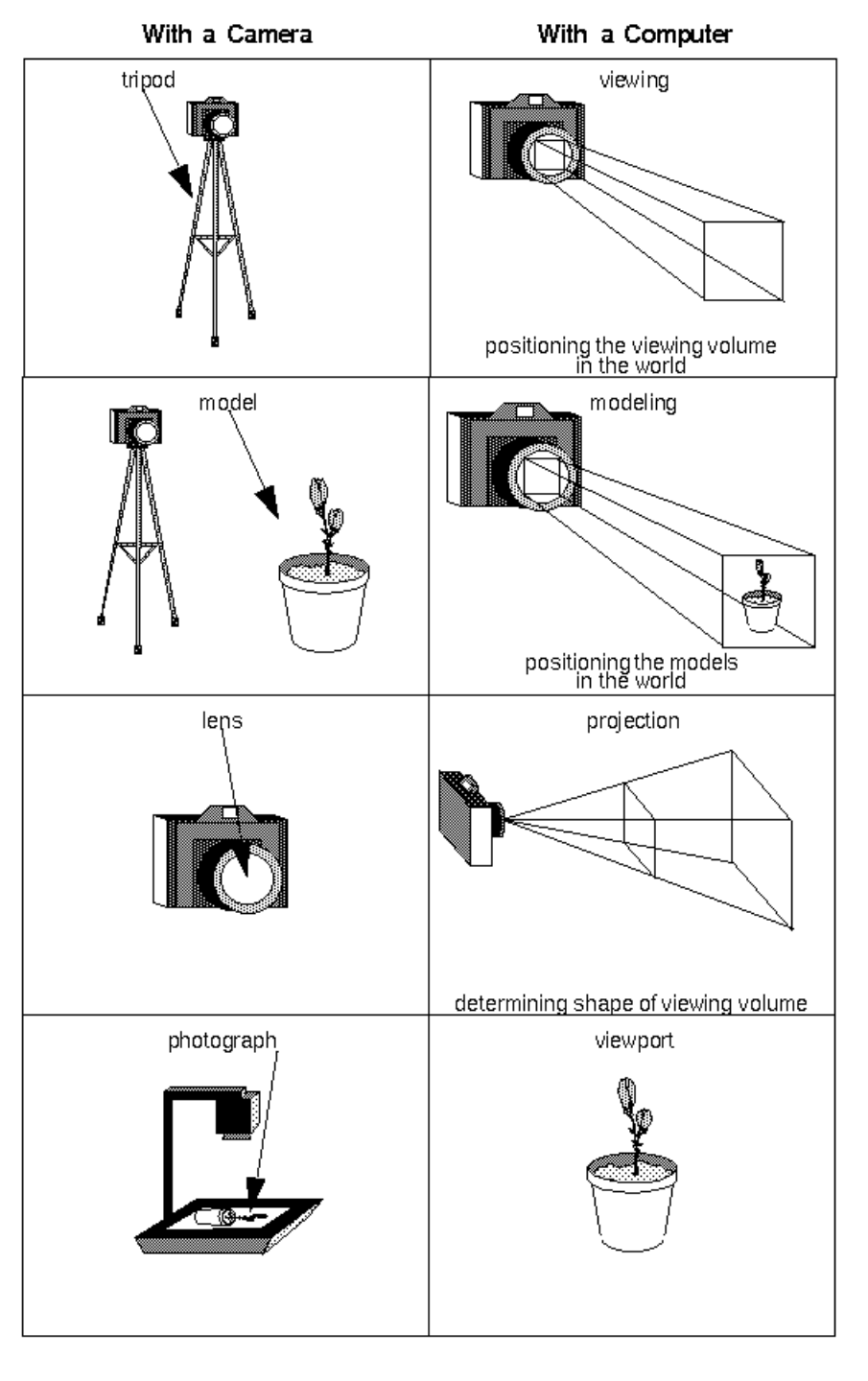


### **Distintos Espaços**

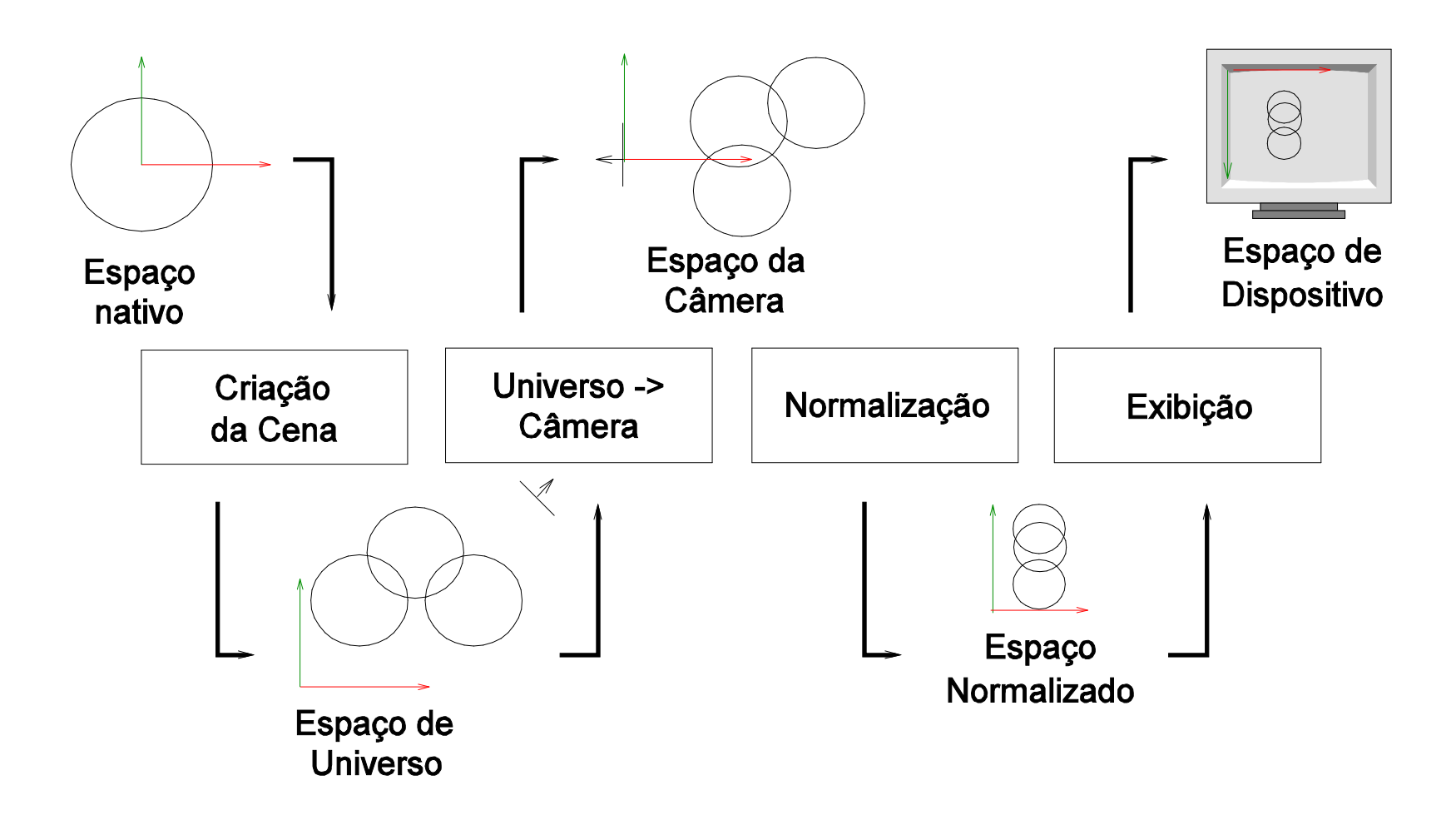
Referencial da Câmera VRC

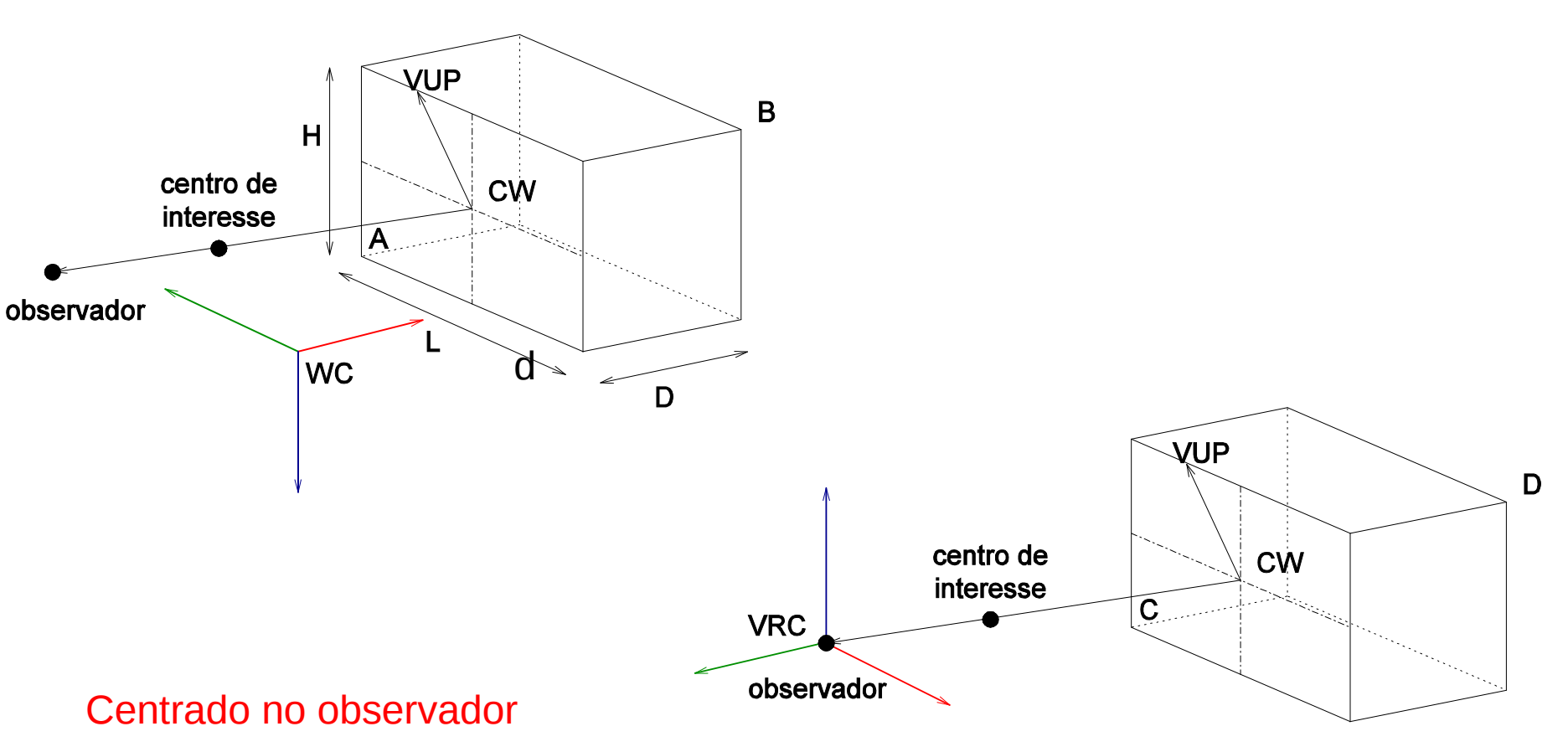
Referencial Normalizado NDC

Referencial da Janela IA725 - 1s2016 - Ting

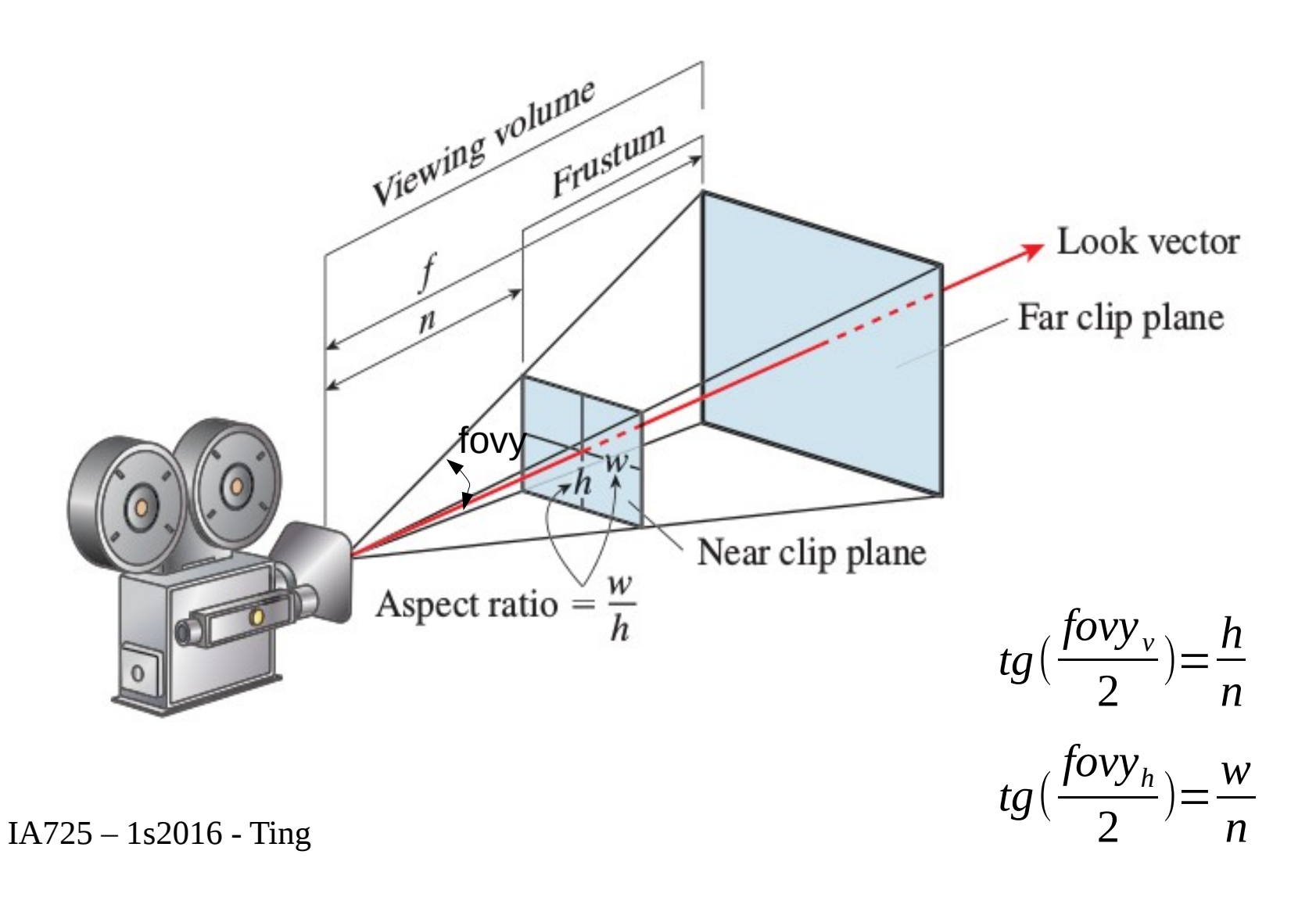


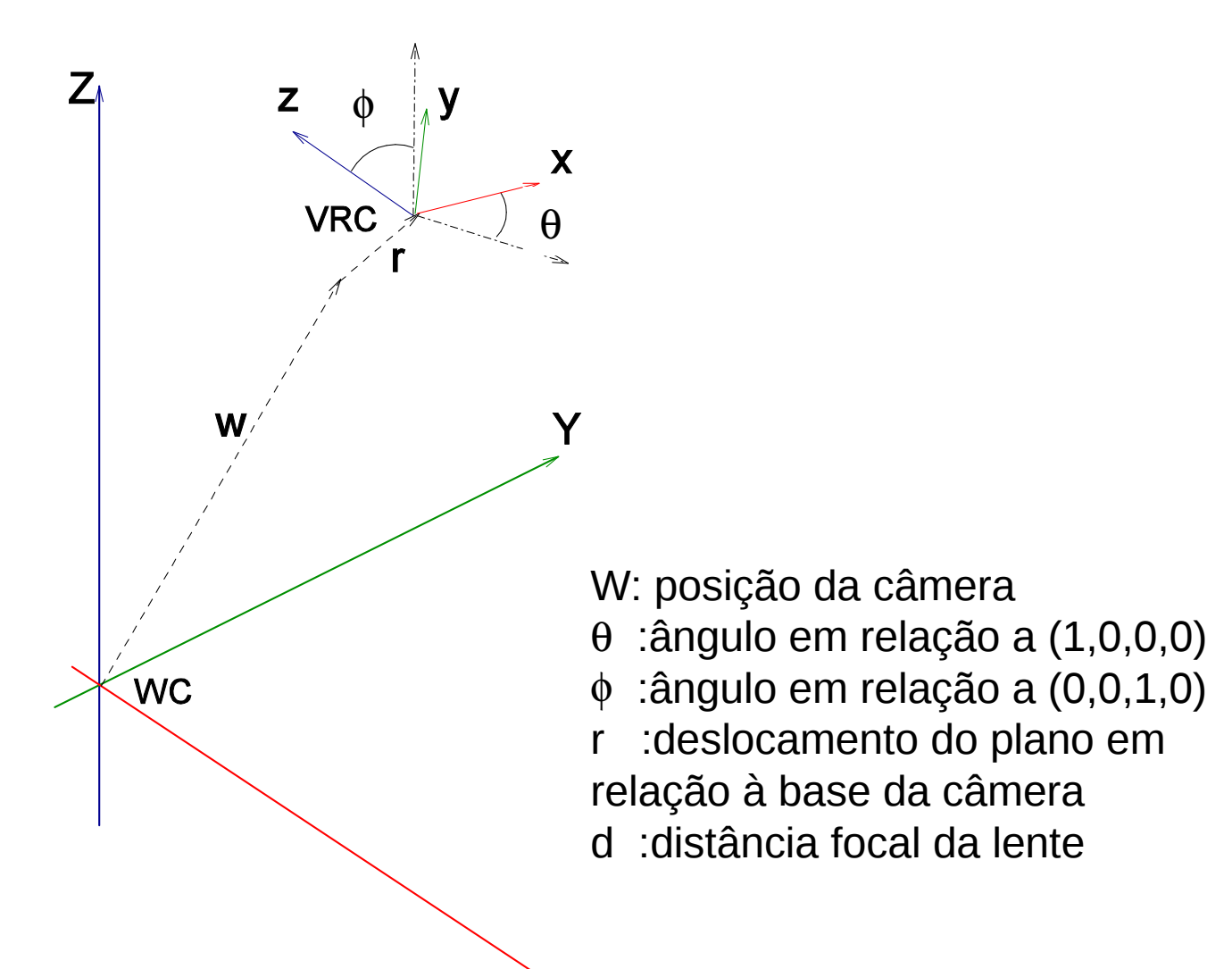
## Fluxo de Projeção



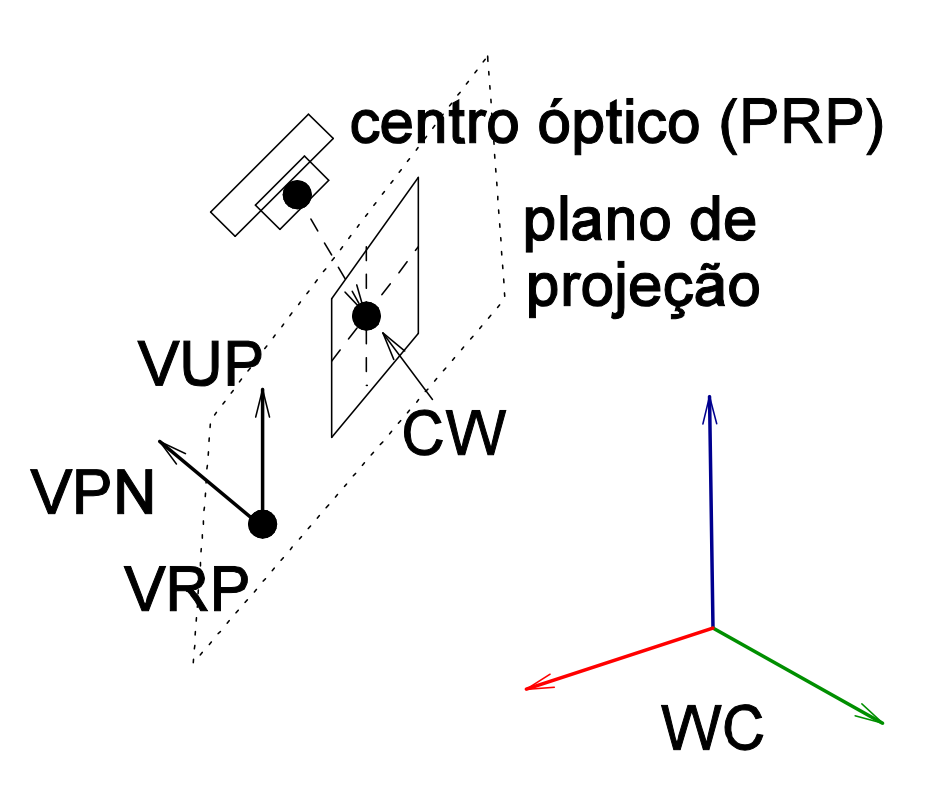


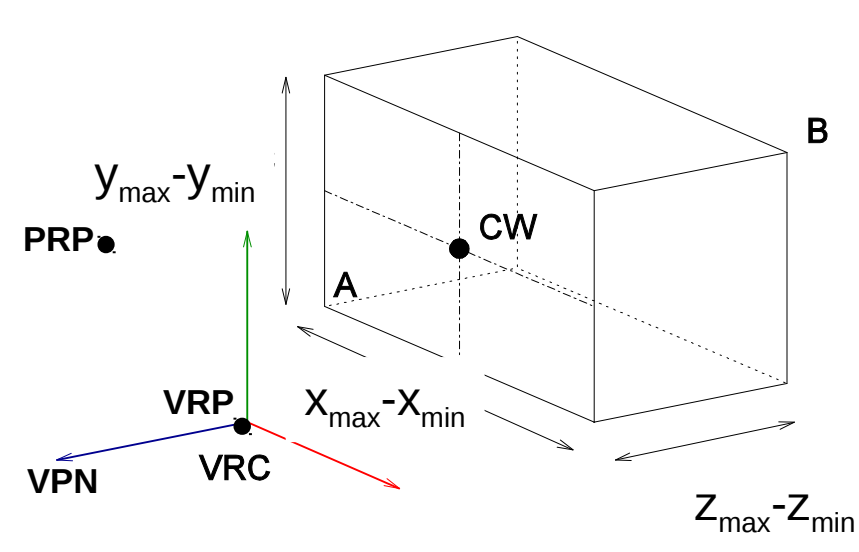
Eixo óptico coincidente com o vetor normal do plano de projeção





Centrado na câmera



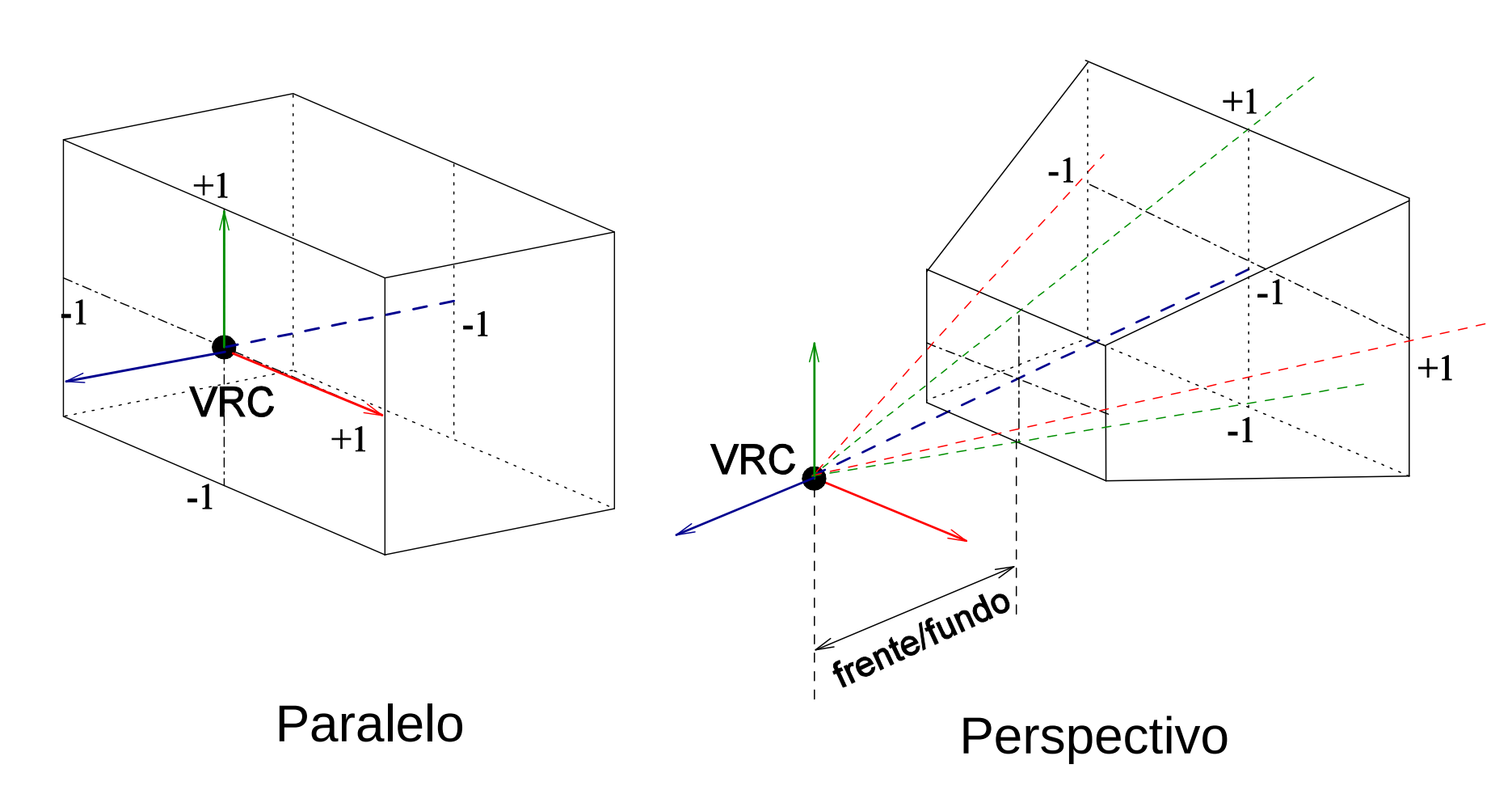


Centrado no plano de projeção

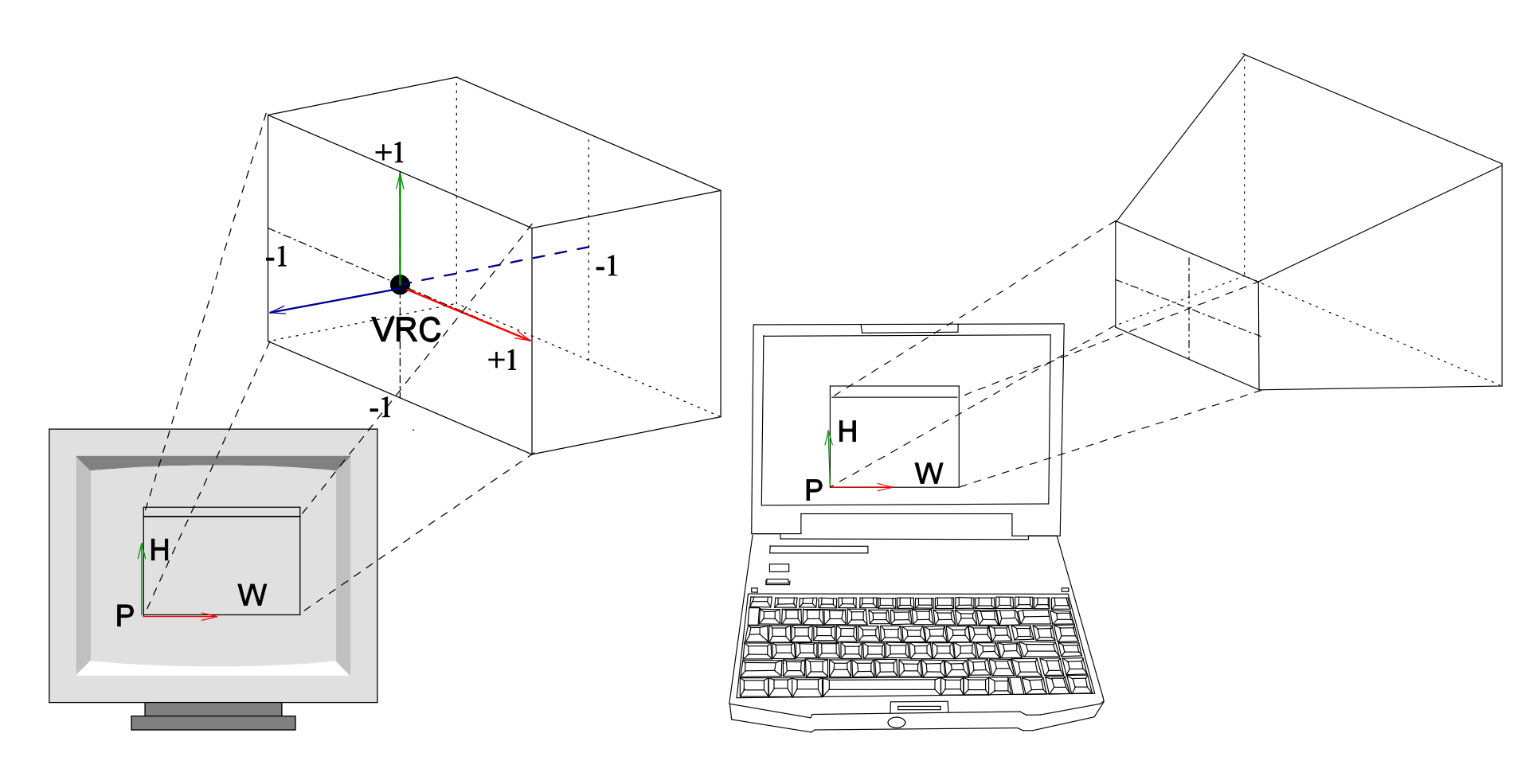
$$A = (x_{min}, y_{min}, z_{min})$$
$$B = (x_{max}, y_{max}, z_{max})$$

IA725 – 1s2016 - Ting

# Modelo de Espaço Normalizado



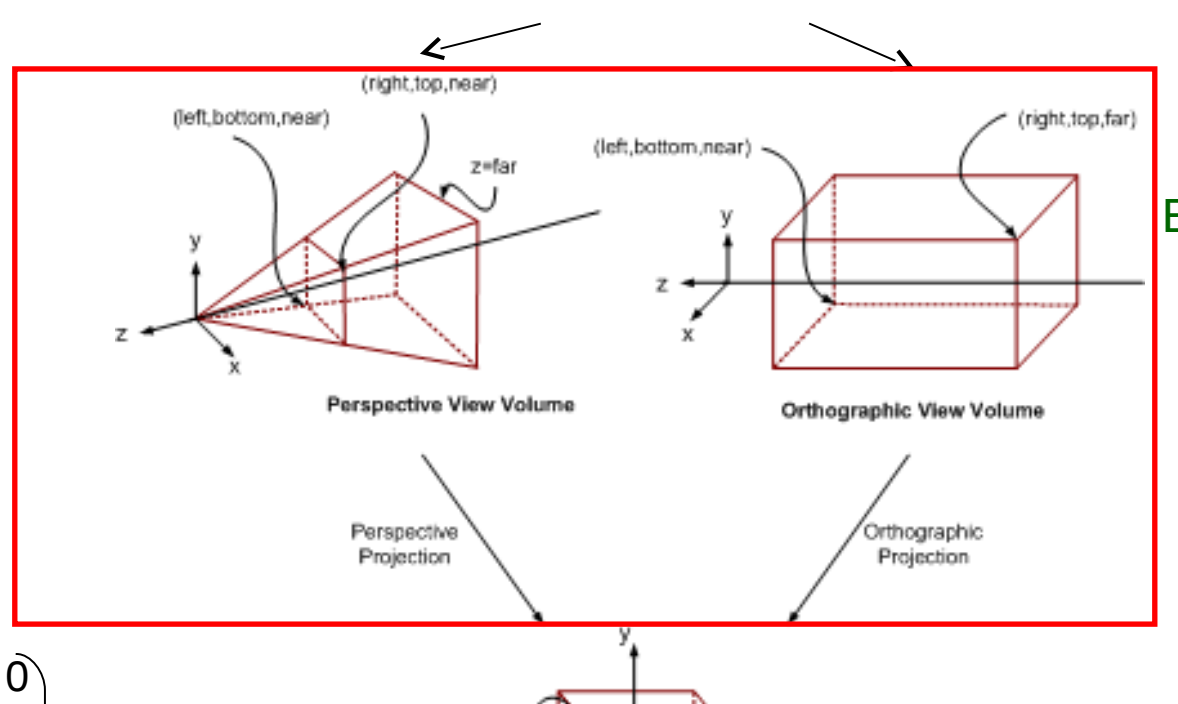
### Modelo de Dispositivo Viewport



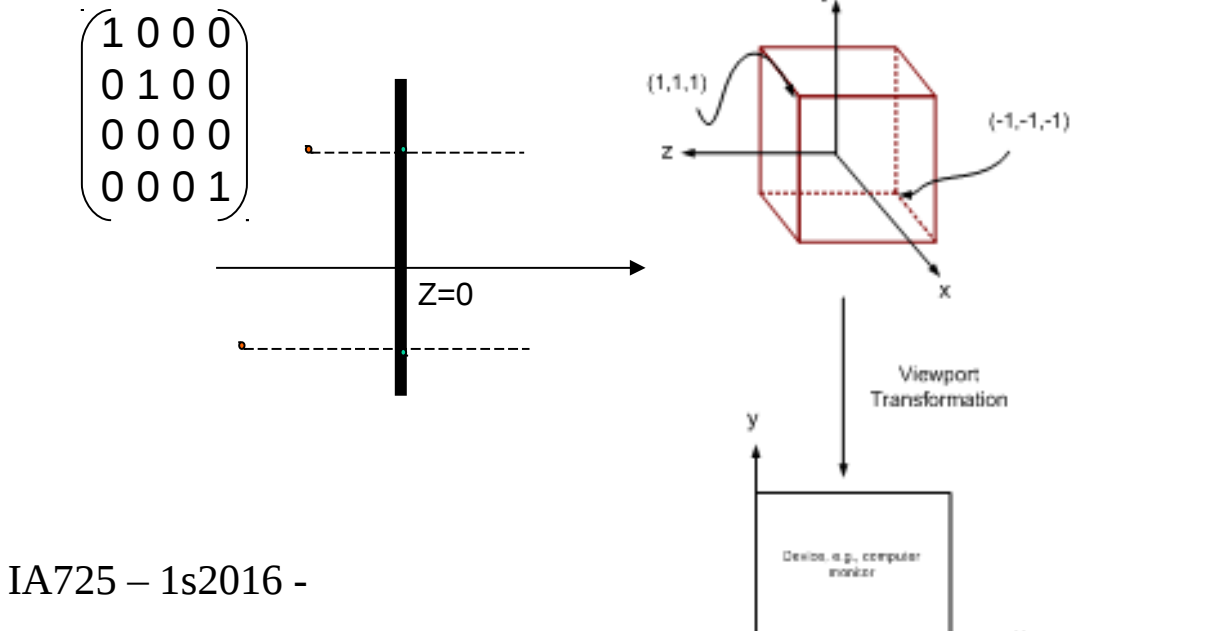
### Universo (WC)

Espaço é deformado para ficar "reto"

Câmera → Normalizado



Espaço da Câmera "Reto" (VRC)



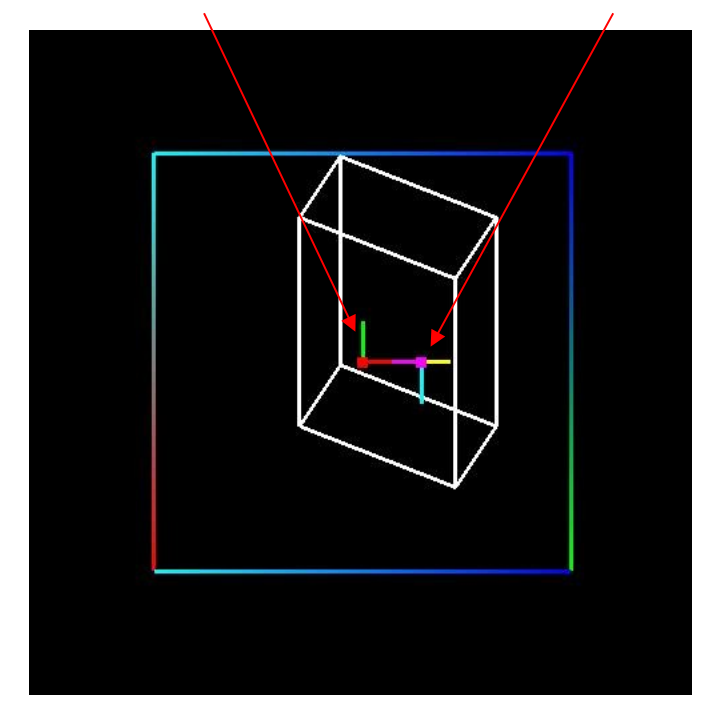
Espaço Normalizado

Espaço da Janela (*Viewport*)

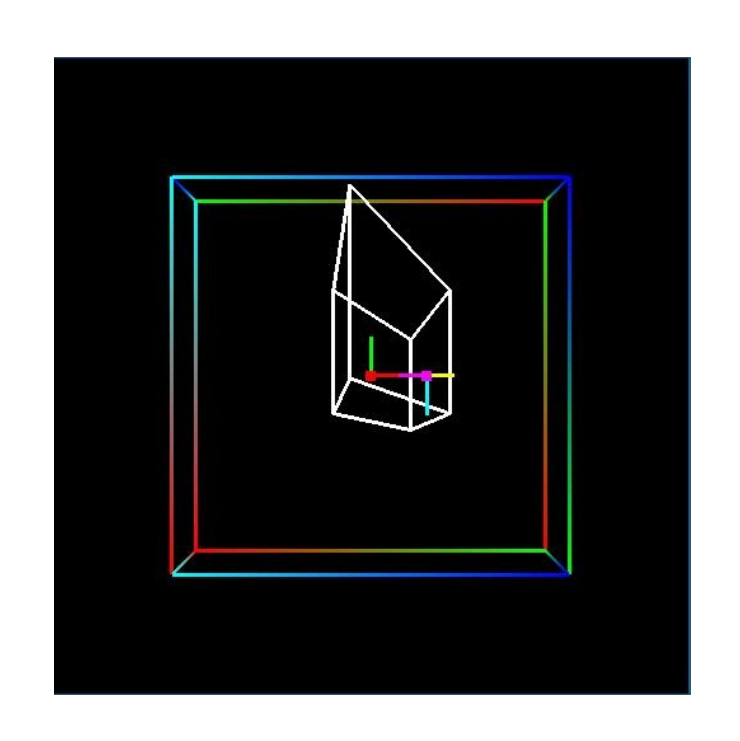
## Projeção Passo a Passo

A partir de um cubo, como chegar à sua projeção

Referencial VRC Referencial WC



Paralela



Perspectiva

IA725 – 1s2016 - Ting

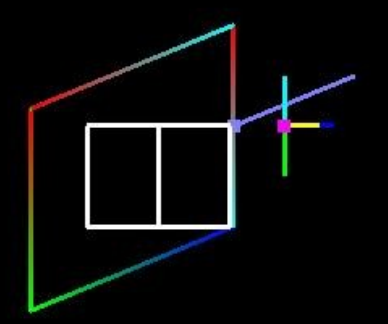
# WC → VRC Especificação de VRC

VUP (up): view up vector VRP: view reference point  $P' = B_{WC} B_{VRC}^{-1} P$ VPN (n): view plane normal PRP: eye CW (r,l,t,b): centro da janela dop: CW-PRP (direção de projeção) profundidade do volume: (F,B) em relação à câmera CW /UP dop PRP Referência **VRP** u Canônica: (1,0,0)(0,1,0)(0,0,1)Referencial da Câmera:  $u = VUP \times n/|VUP \times n|$  $\mathbf{X}$ nxu IA725 – 1s2016 - Ting n = VPN/|VPN|

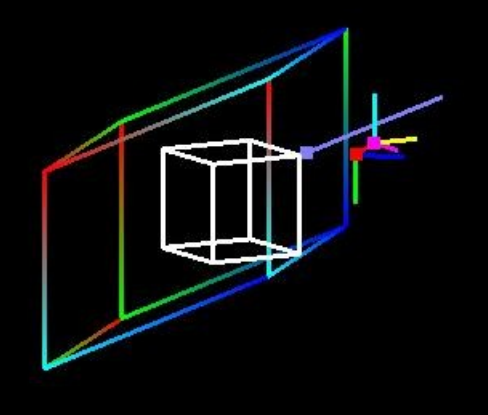
### Referencial VRC em WC

Observe que o referencial WC é a base canônica

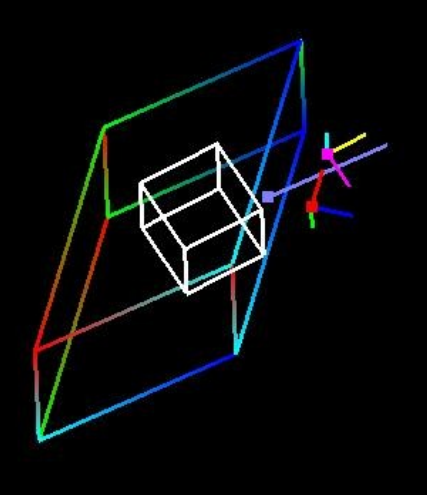
Projeção Paralela (Várias Vistas)



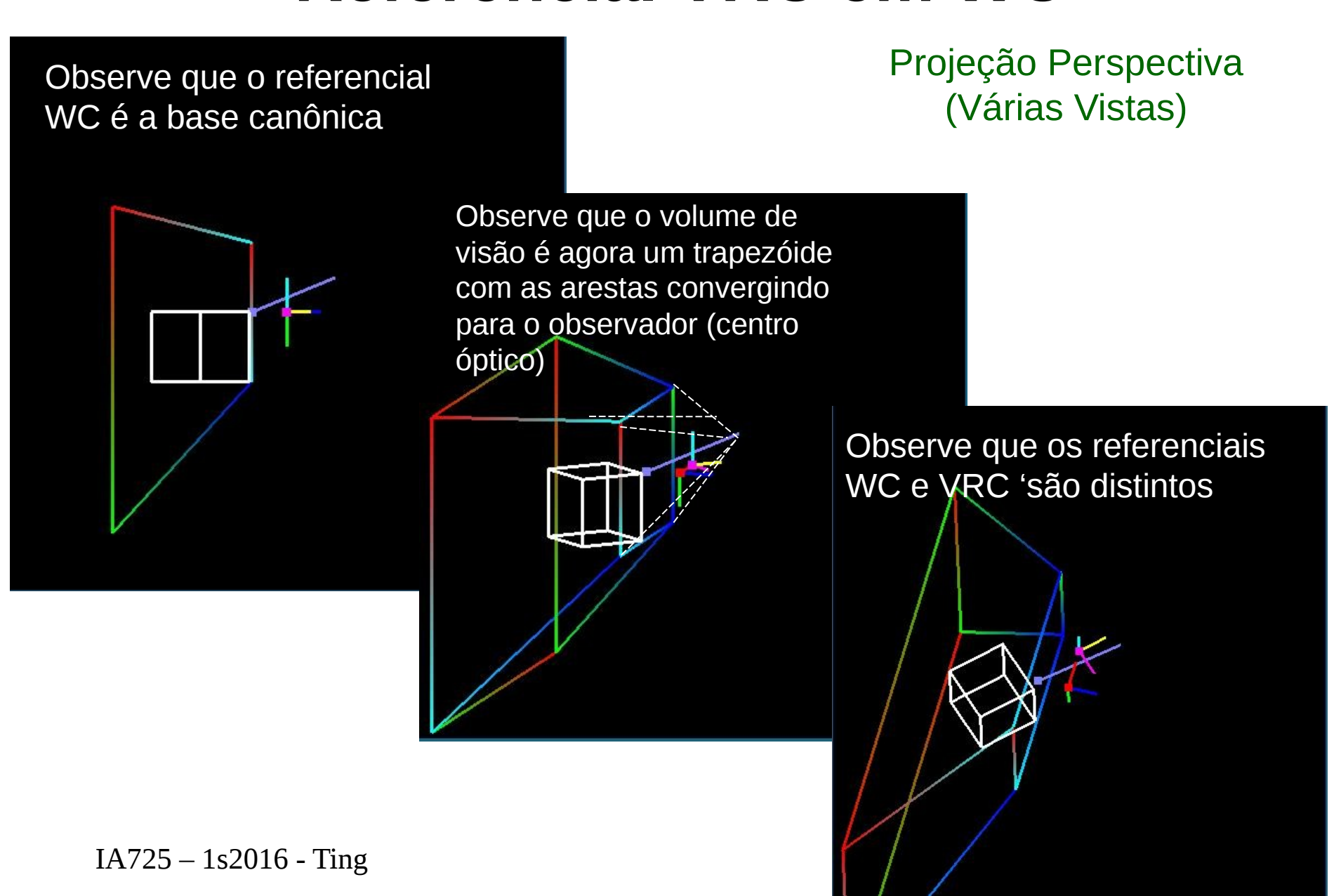
Observe que o volume de visão é um paralelepípedo inclinado



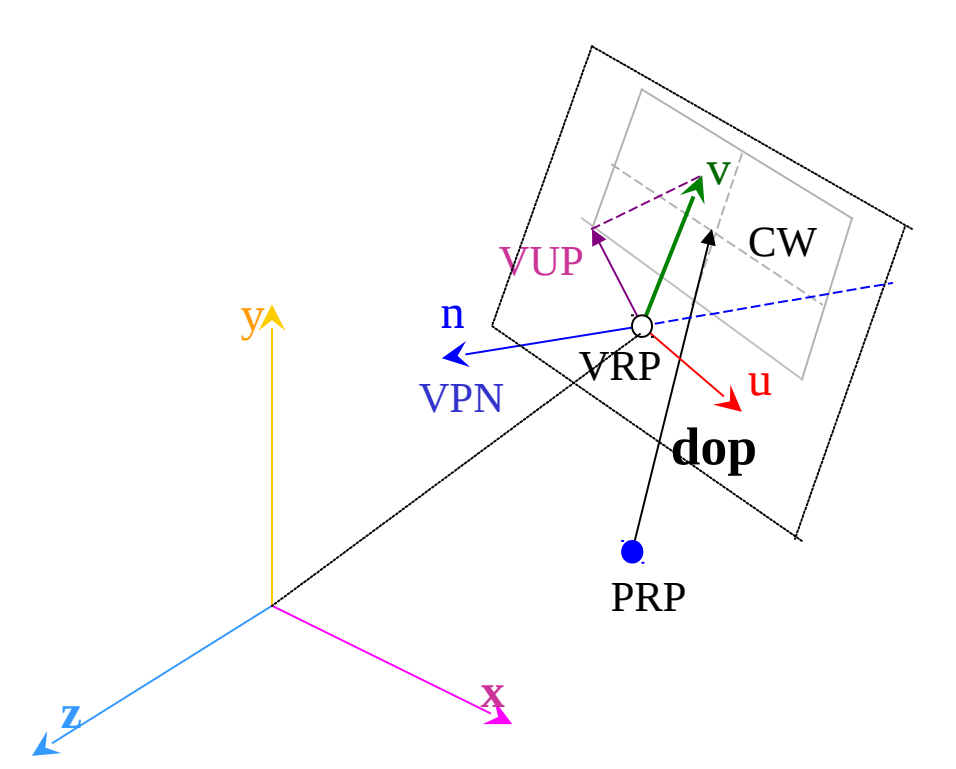
Observe que os referenciais WC e VRC são distintos



### Referencial VRC em WC



### WC → VRC



(1) VRP na origem

$$Tr = \begin{bmatrix} 1 & 0 & 0 & -VRP_x \\ 0 & 1 & 0 & -VRP_y \\ 0 & 0 & 1 & -VRP_z \\ 0 & 0 & 0 & 1 \end{bmatrix}$$
IA725 – 1s2016 - Ting

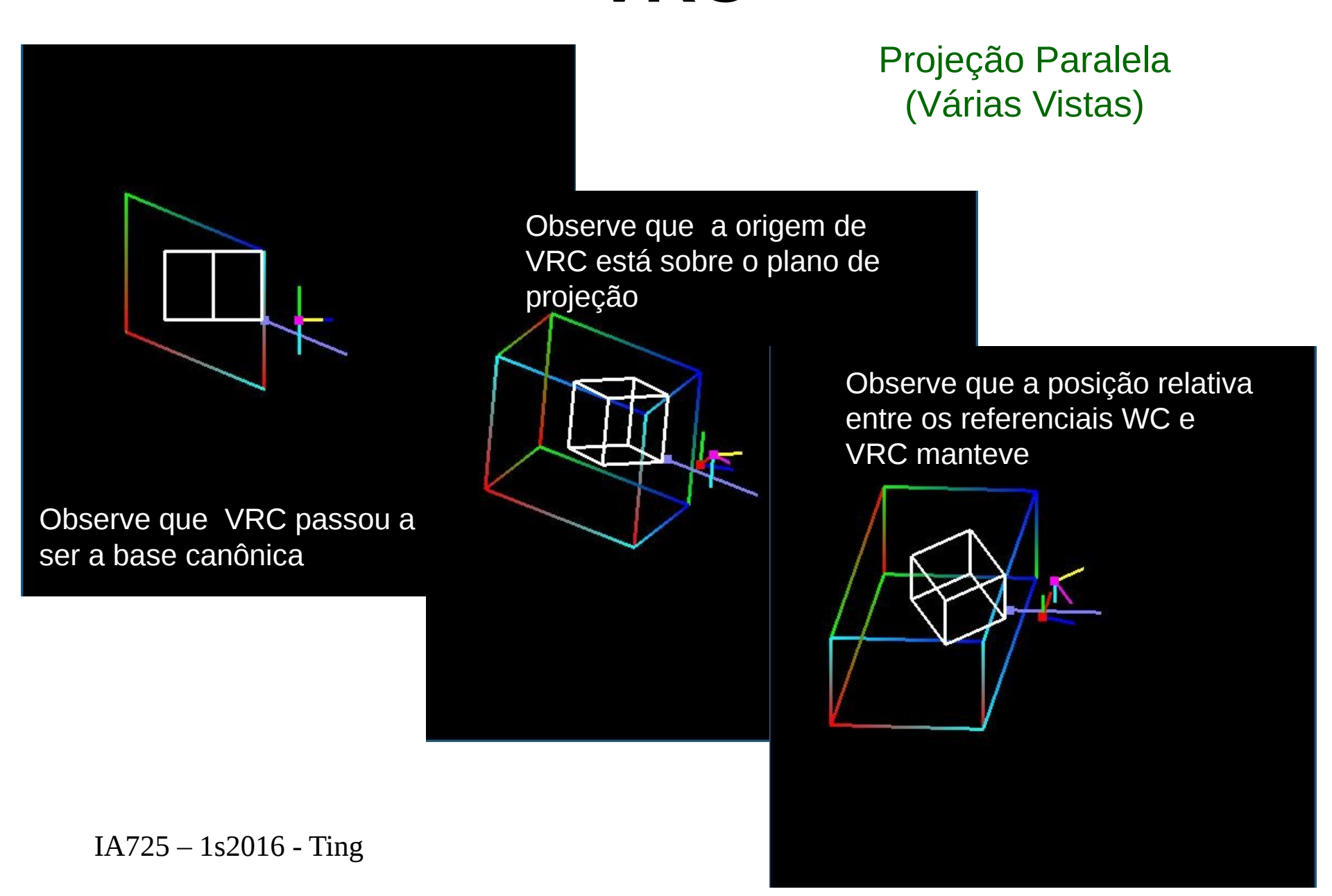
(2)  $(\overrightarrow{u,v,n})$  em vetores base ortonormais

$$\vec{n} = \frac{VPN}{|VPN|}$$

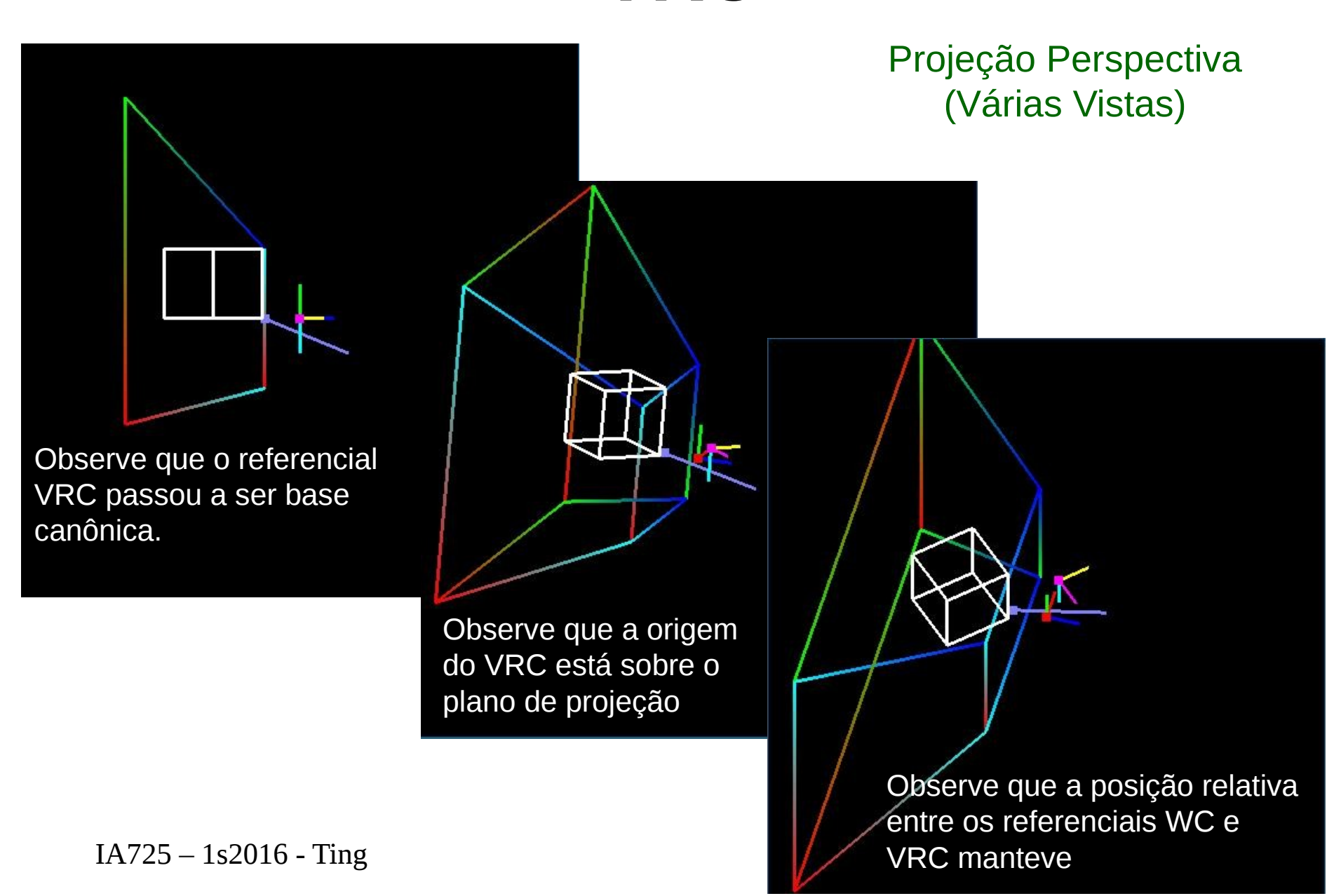
$$\vec{u} = \frac{VVPN}{|VVP|} \times \vec{n}$$

$$\vec{v} = \vec{n} \times \vec{u}$$

#### **VRC**



#### **VRC**



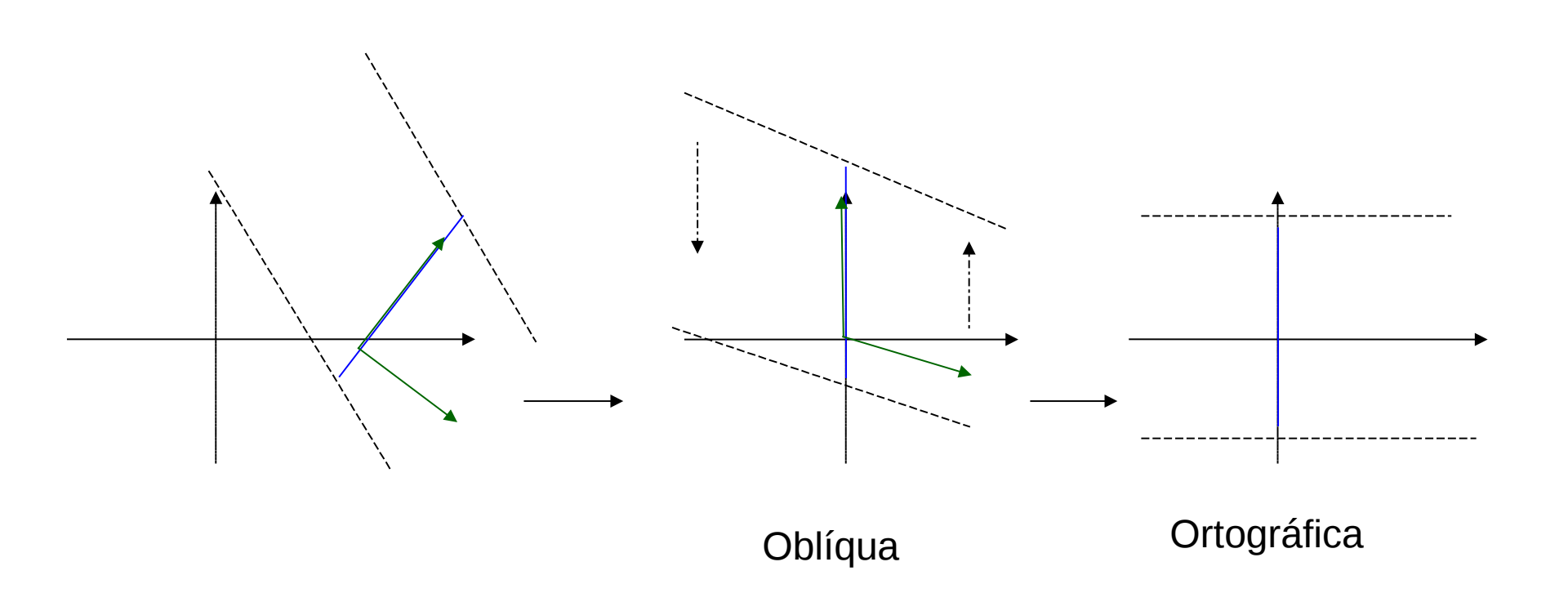
## PRP na origem de VRC

Na projeção paralela o observador está no infinito (raios projetores paralelos), mas na projeção perspectiva, o observador/centro óptico (PRP) está localizado em um ponto finito do espaço. Este ponto deve coincidir com a origem para reduzirmos o nosso problema ao do caso trivial.

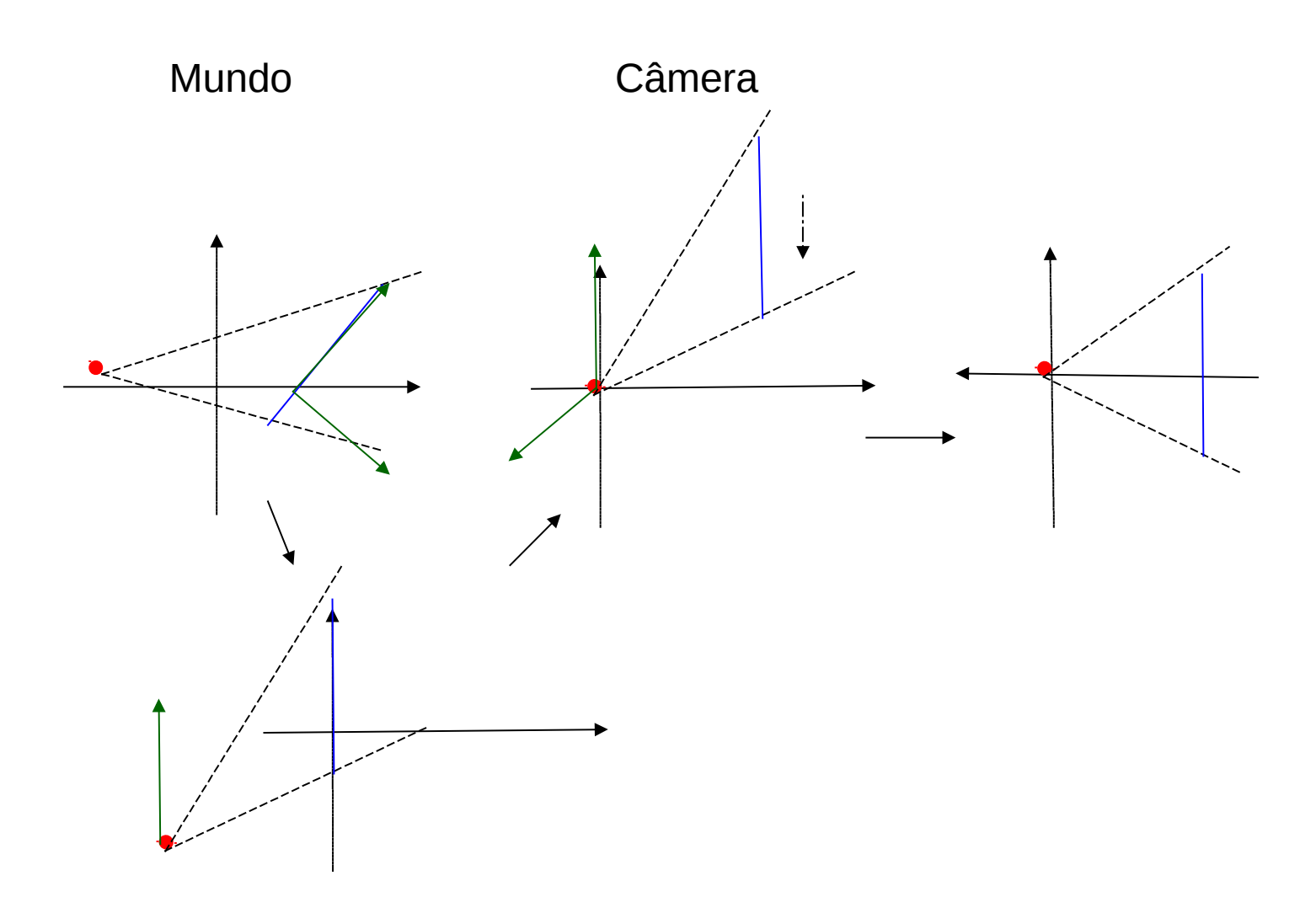
$$PRP' = R Tr PRP$$

$$Tr_{PRP'} = \begin{bmatrix} 1 & 0 & 0 & -PRP'_{x} \\ 0 & 1 & 0 & -PRP'_{y} \\ 0 & 0 & 1 & -PRP'_{z} \\ 0 & 0 & 0 & 1 \end{bmatrix}$$

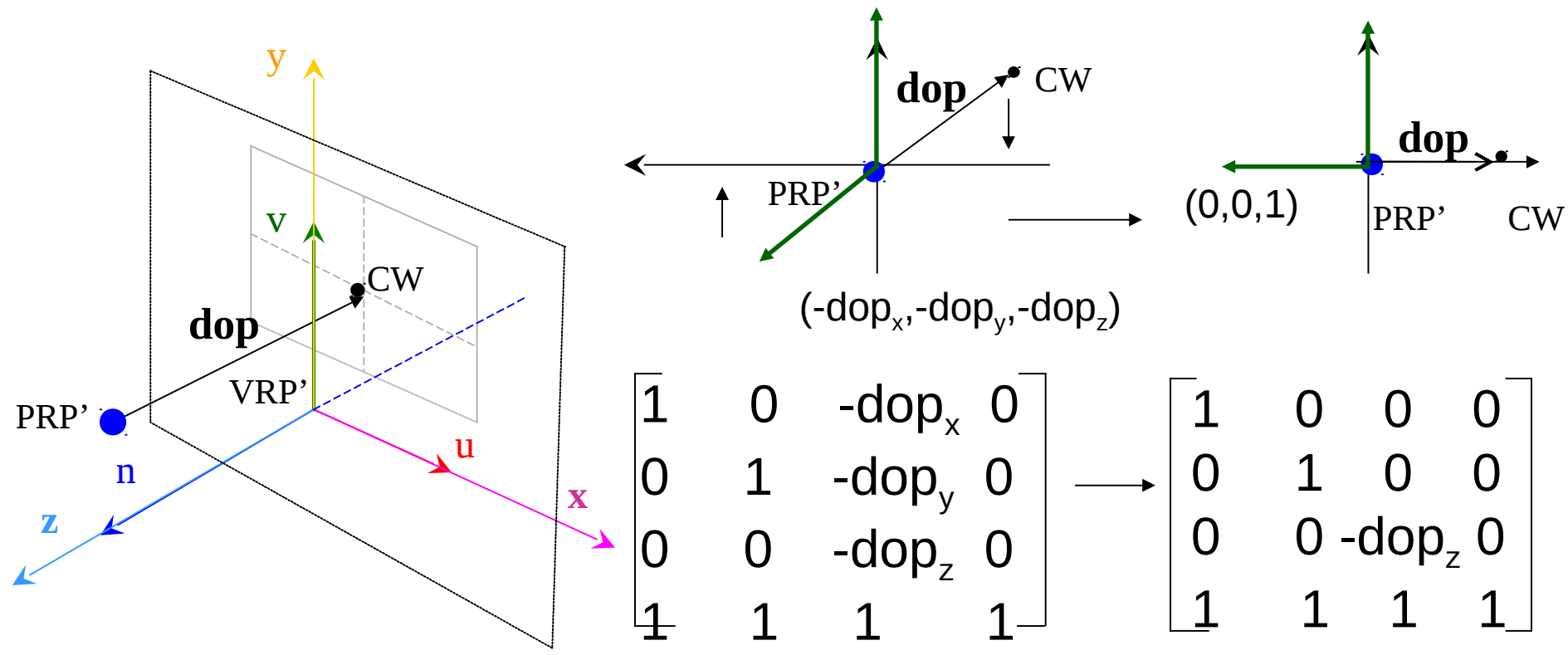
## Deformação do Volume Paralelo Cisalhamento



## Deformação do Volume Perspectivo



#### Deformação do Volume Cisalhamento



SH =

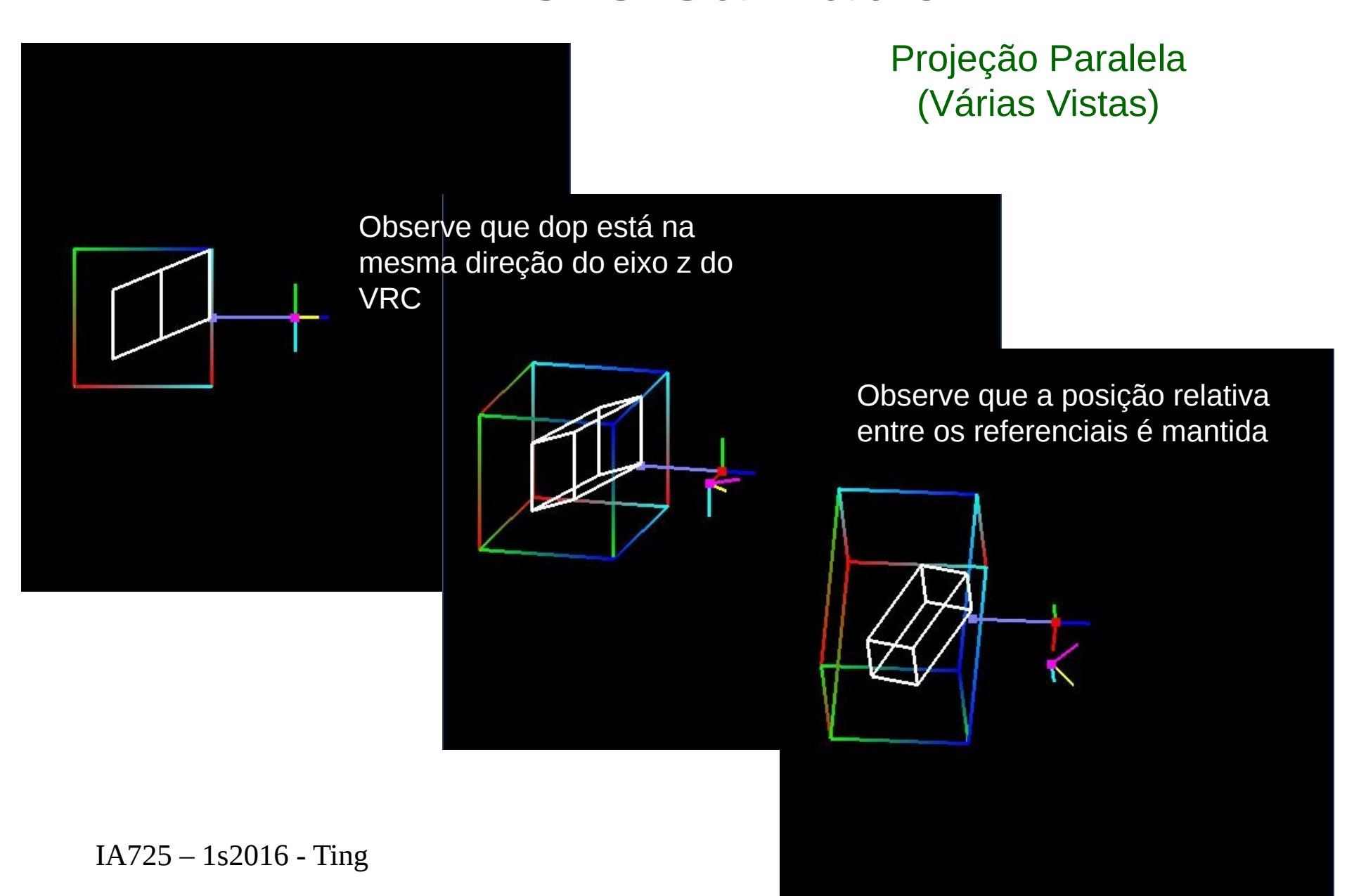
VRP': view reference point in VRC

PRP': projection reference point in VRC

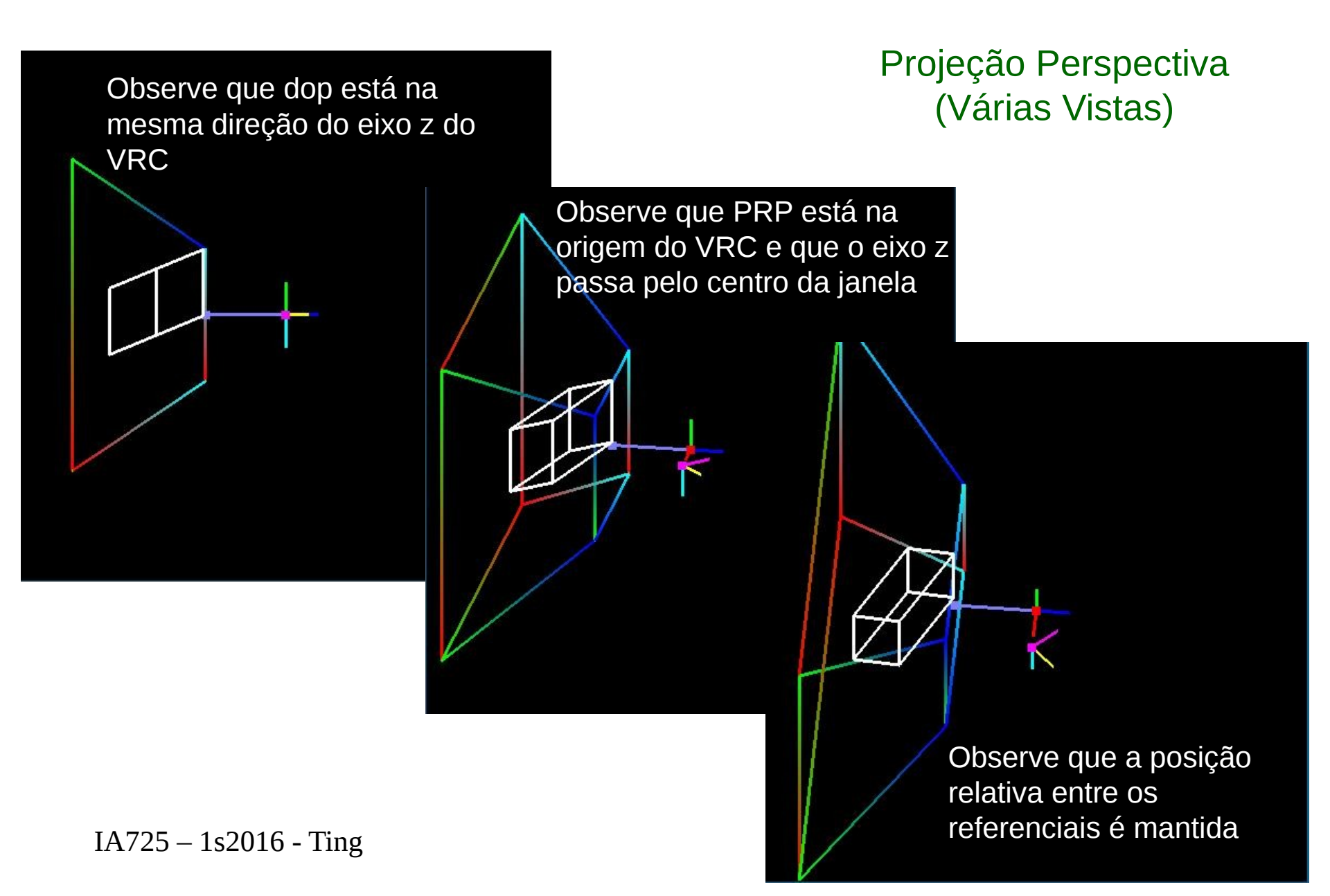
dop: direction of projection

CW: center of window

#### **VRC** Cisalhado

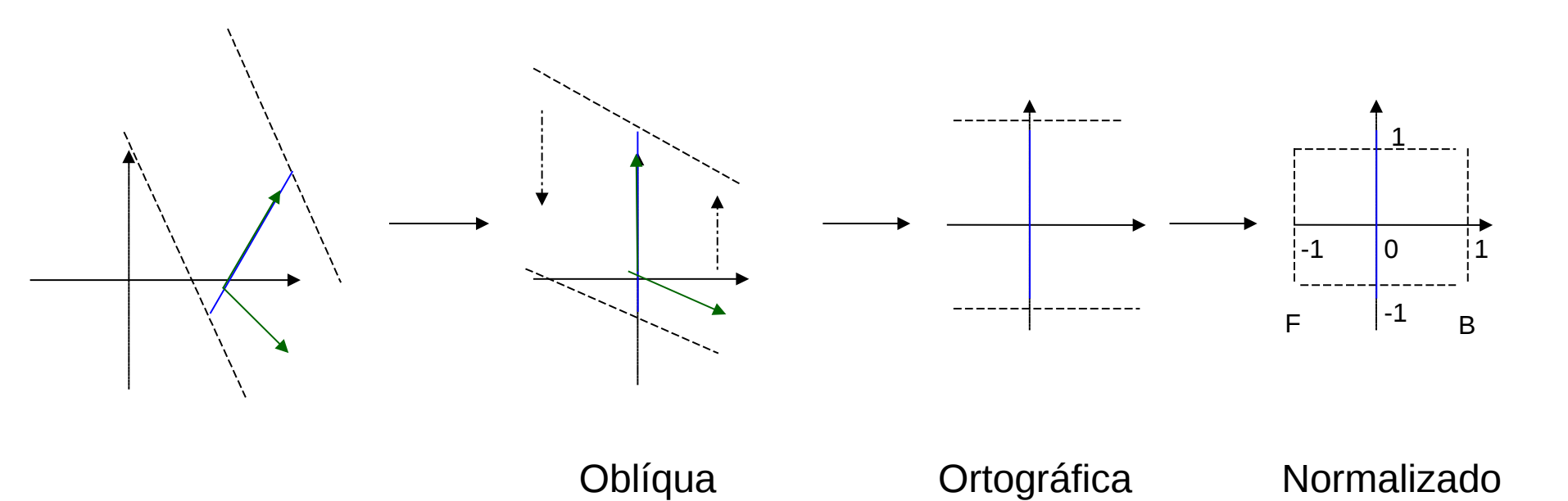


#### **VRC** Cisalhado



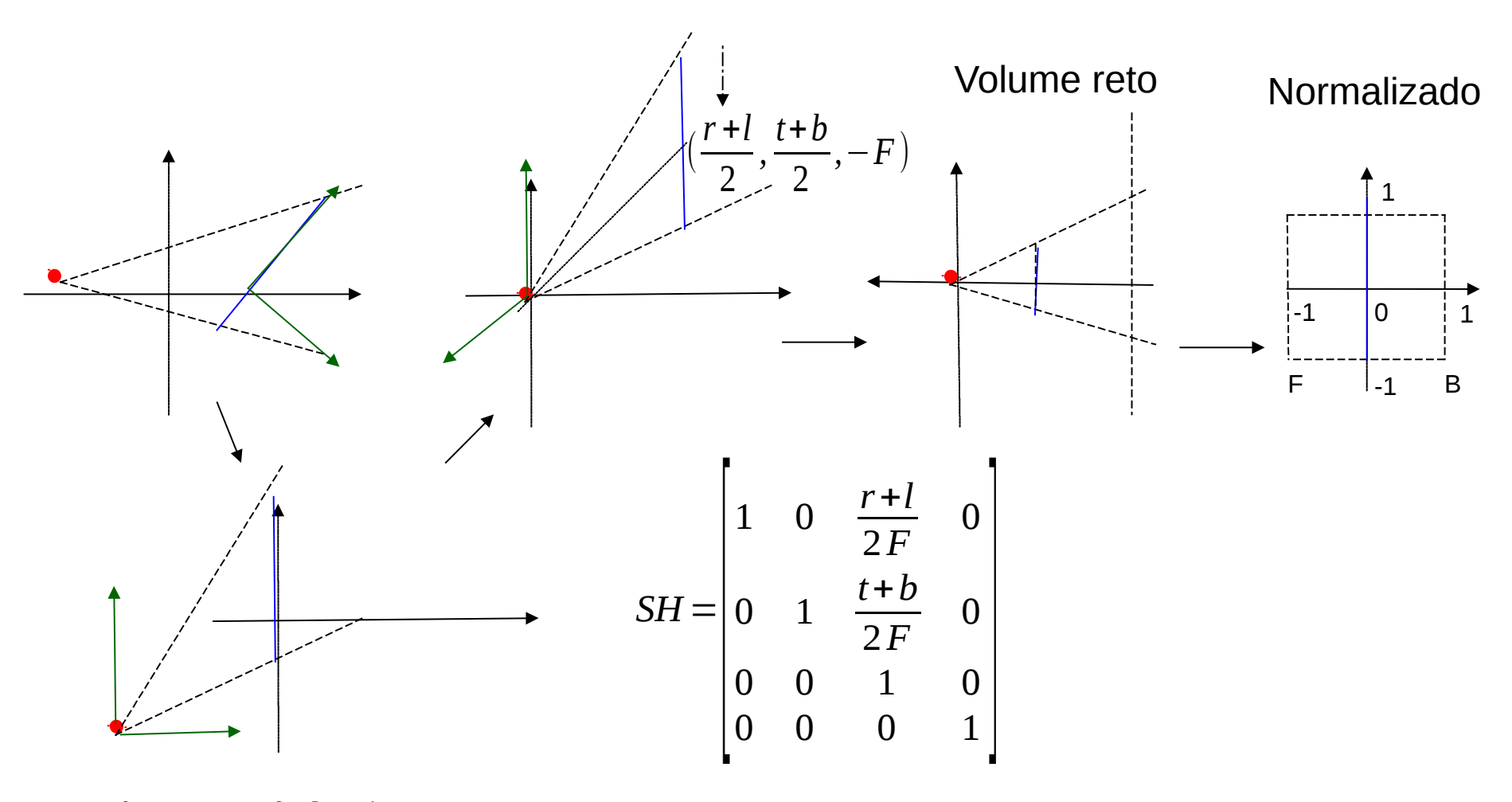
#### VRC → NDC

Projeção Paralela

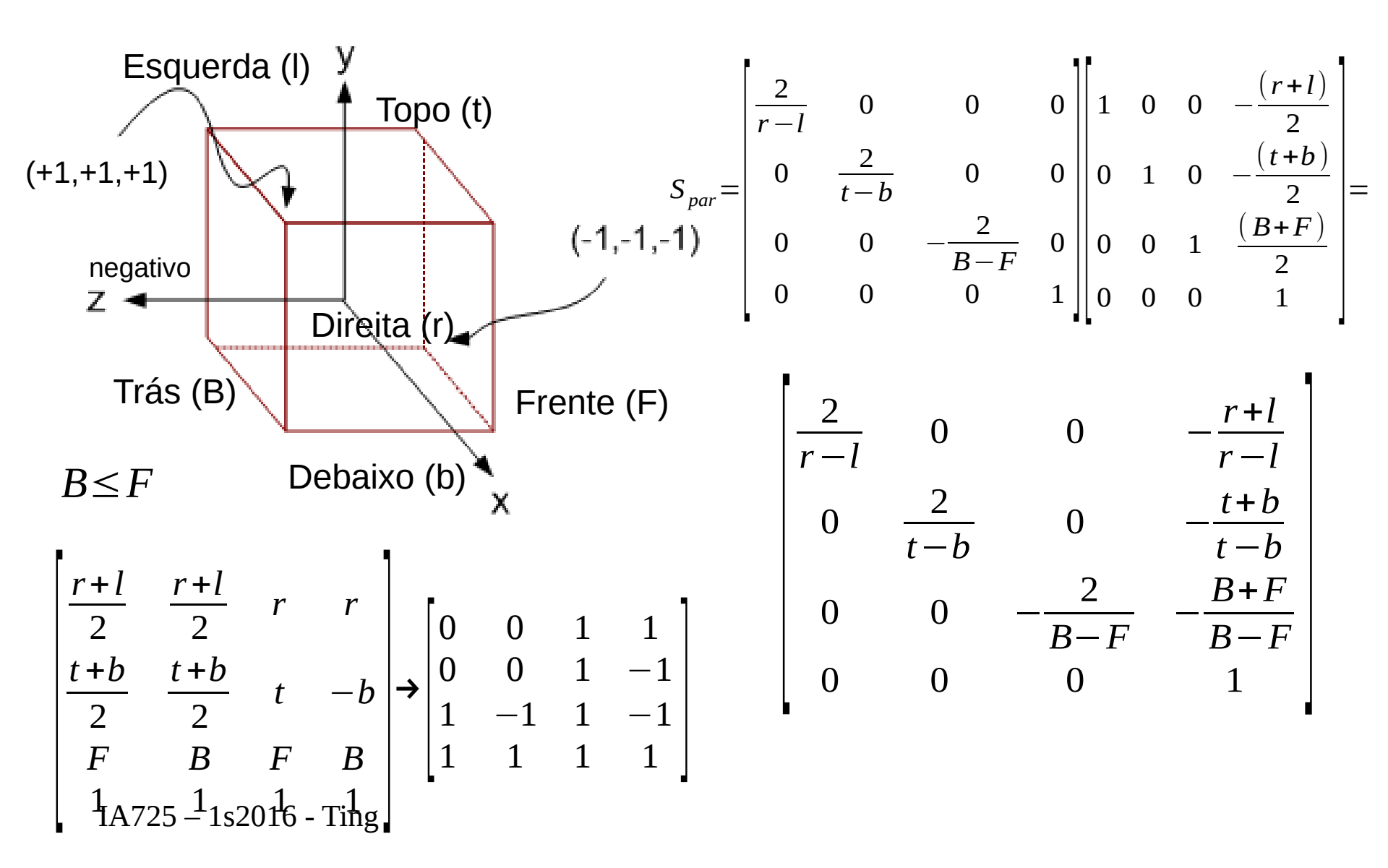


#### VRC → NDC

#### Projeção Perspectiva



## **VRC** → **NDC** (Paralelo)



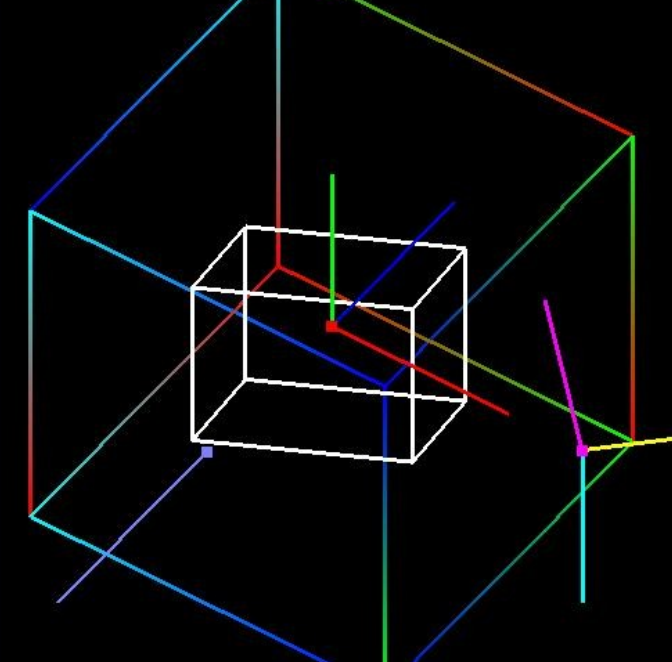
#### **NDC**

Observe que a relação do volume com o referencial

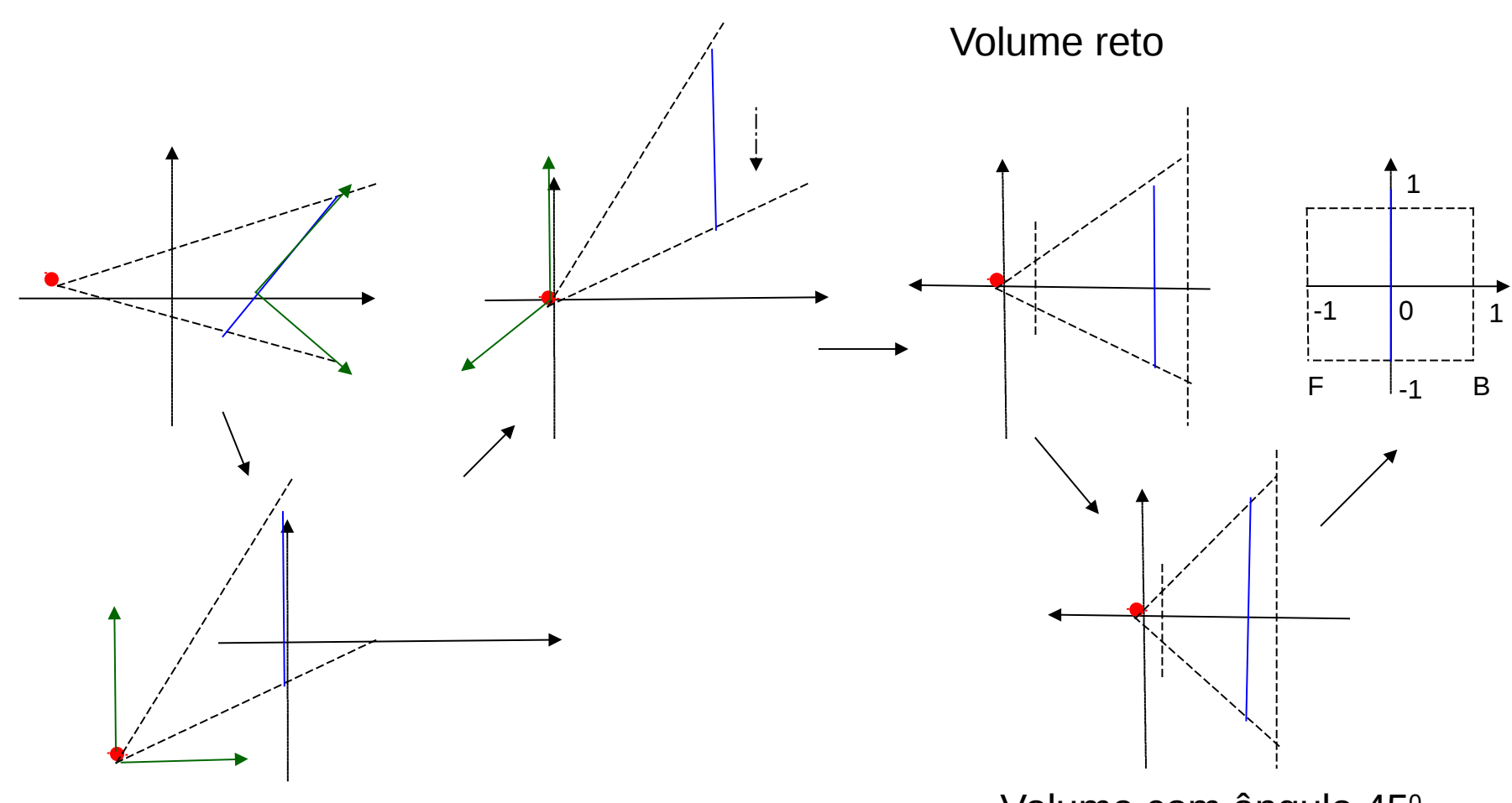
Observe que o volume de visão ficou um cubo centrado na origem do referencial VRC

Projeção Paralela (Várias Vistas)

Observe que o volume de visão tem as arestas paralelas à dop



# VRC → Volume em 45° → NDC (Perspectivo)

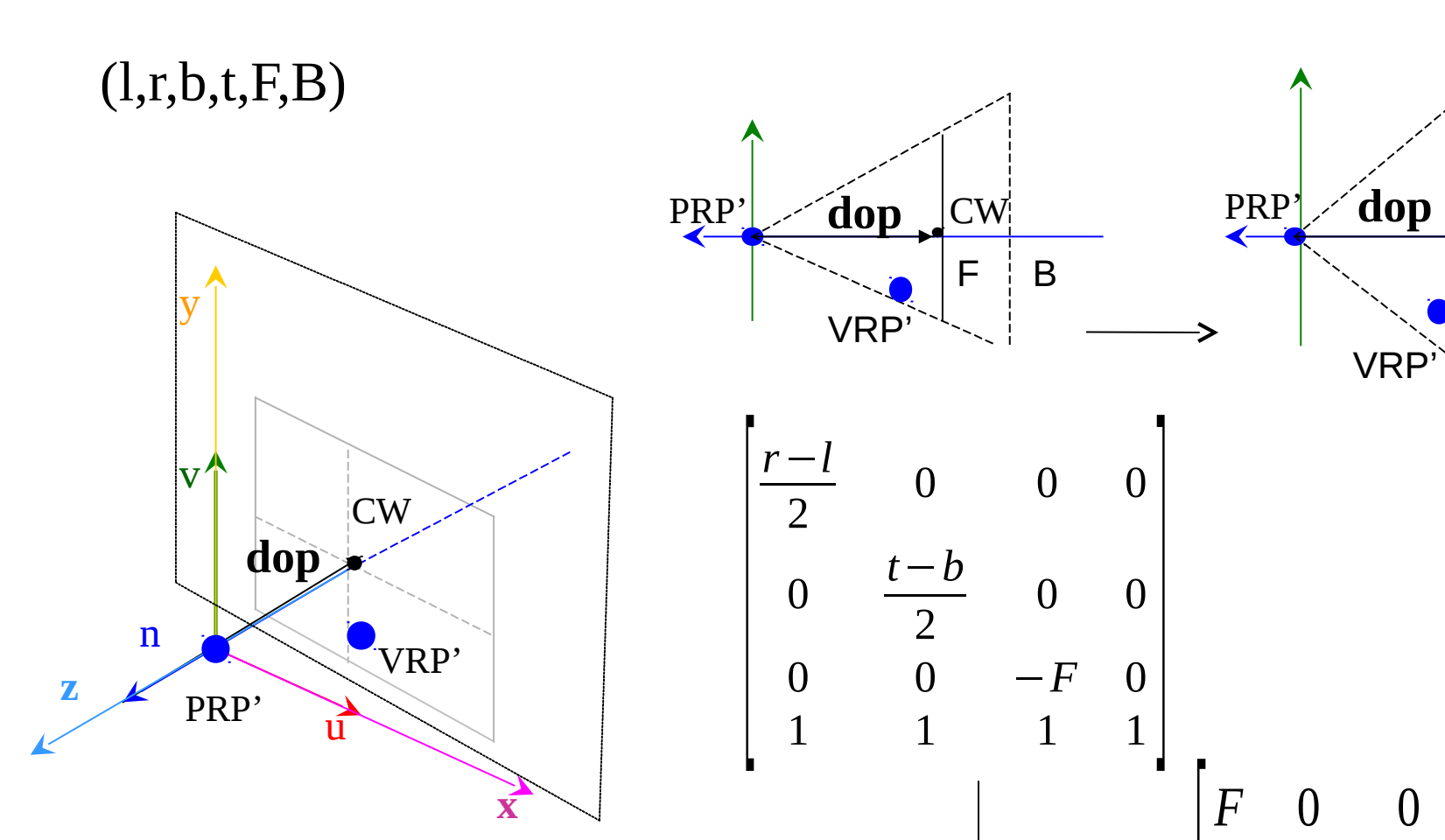


Volume com ângulo 45°

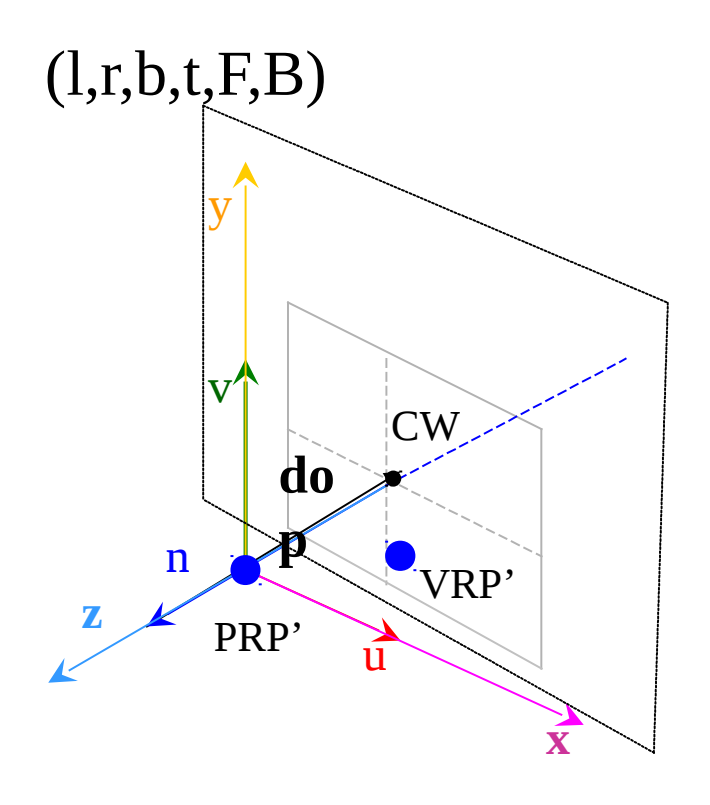
#### VRC → Volume em 45°

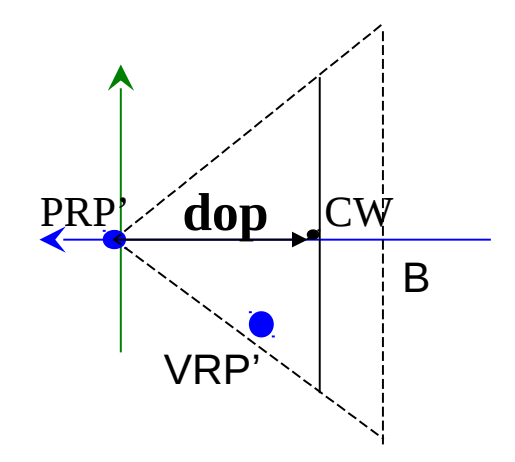
CW

F



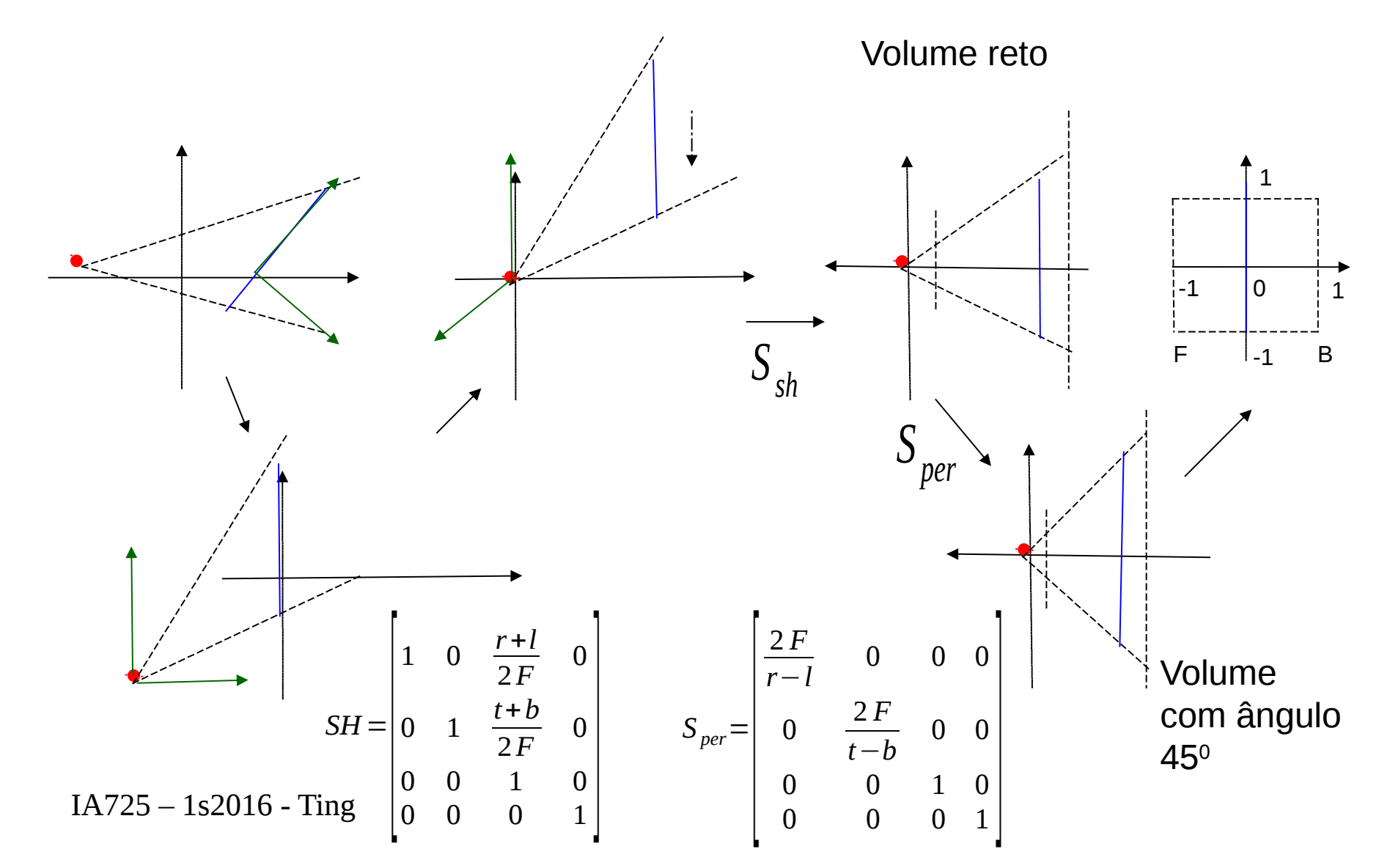
#### VRC → Volume em 45°





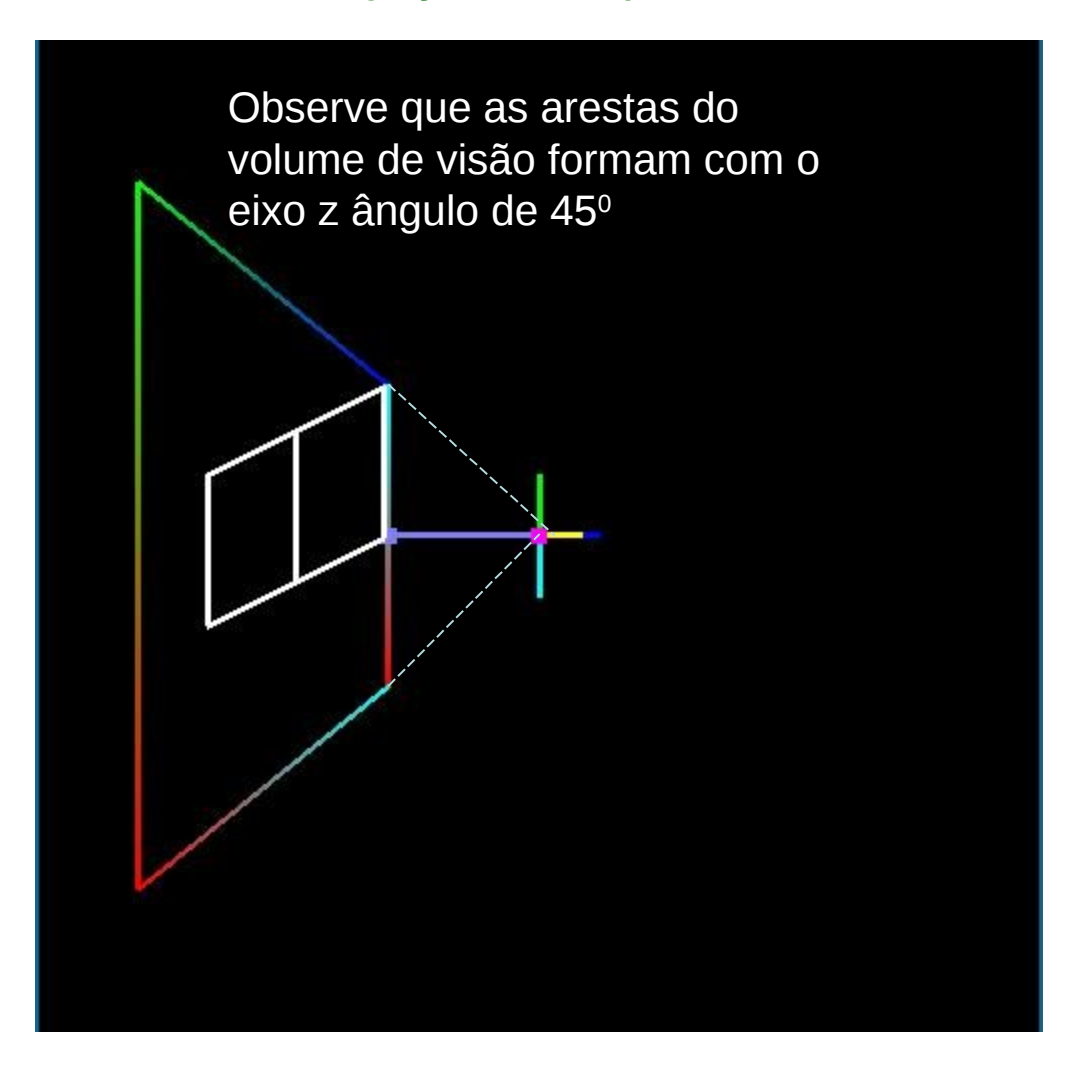
$$S_{per} = \begin{vmatrix} \frac{2F}{r-l} & 0 & 0 & 0 \\ 0 & \frac{2F}{t-b} & 0 & 0 \\ 0 & 0 & 1 & 0 \\ 0 & 0 & 0 & 1 \end{vmatrix}$$

# VRC → Volume em 45° → NDC (Perspectivo)

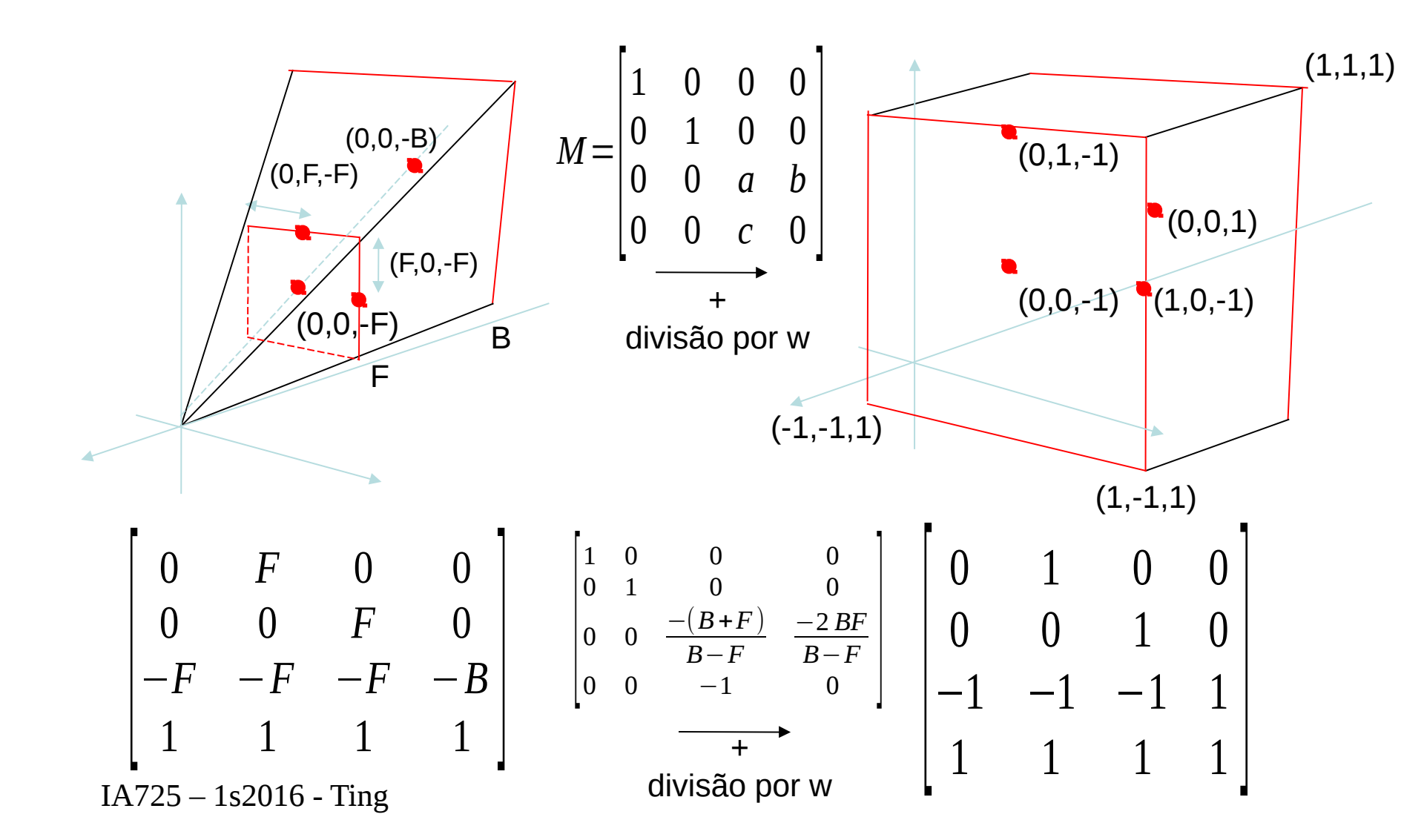


#### Volume em 45°

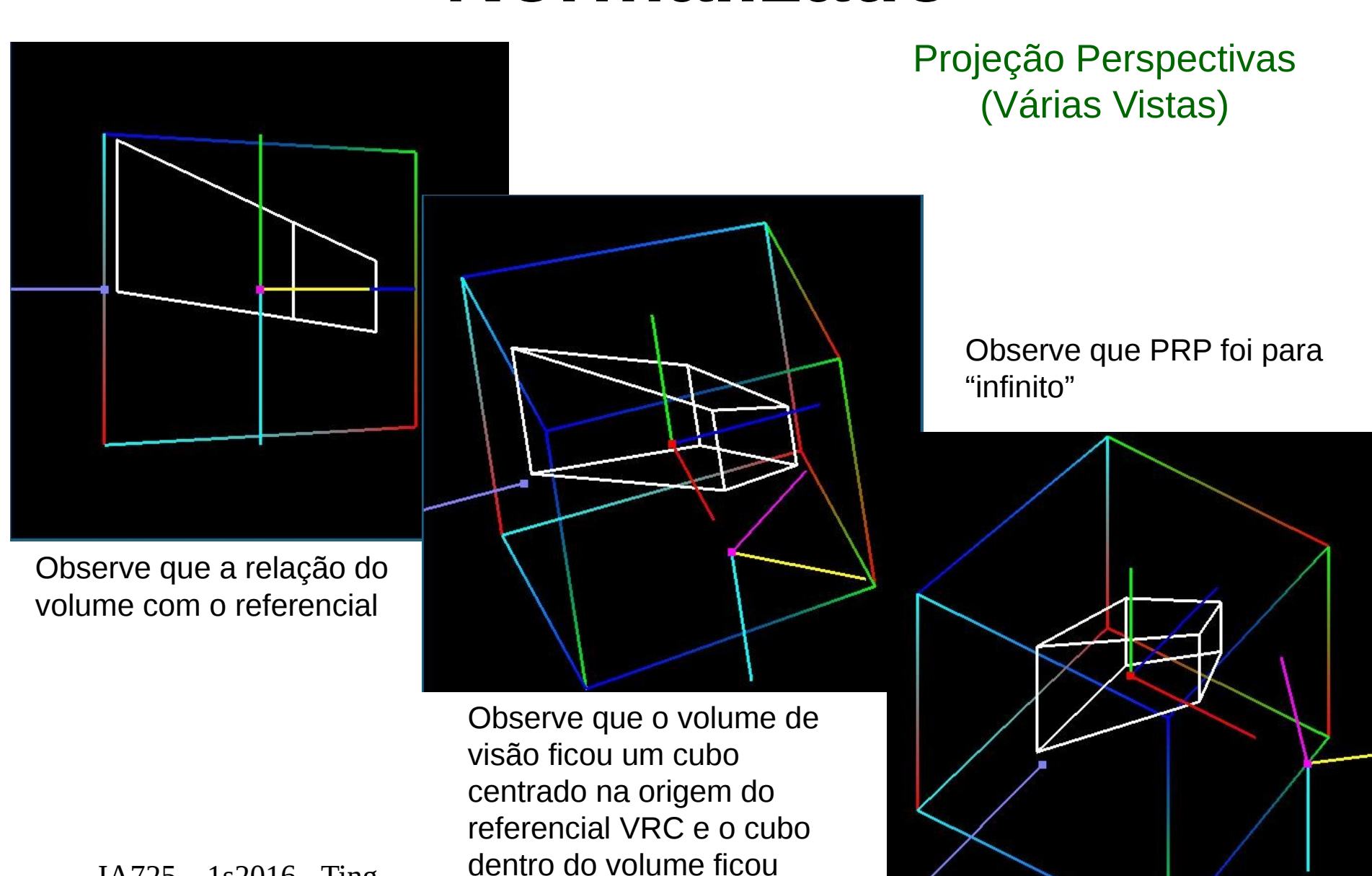
Projeção Perspectiva



#### Volume em 45° → NDC

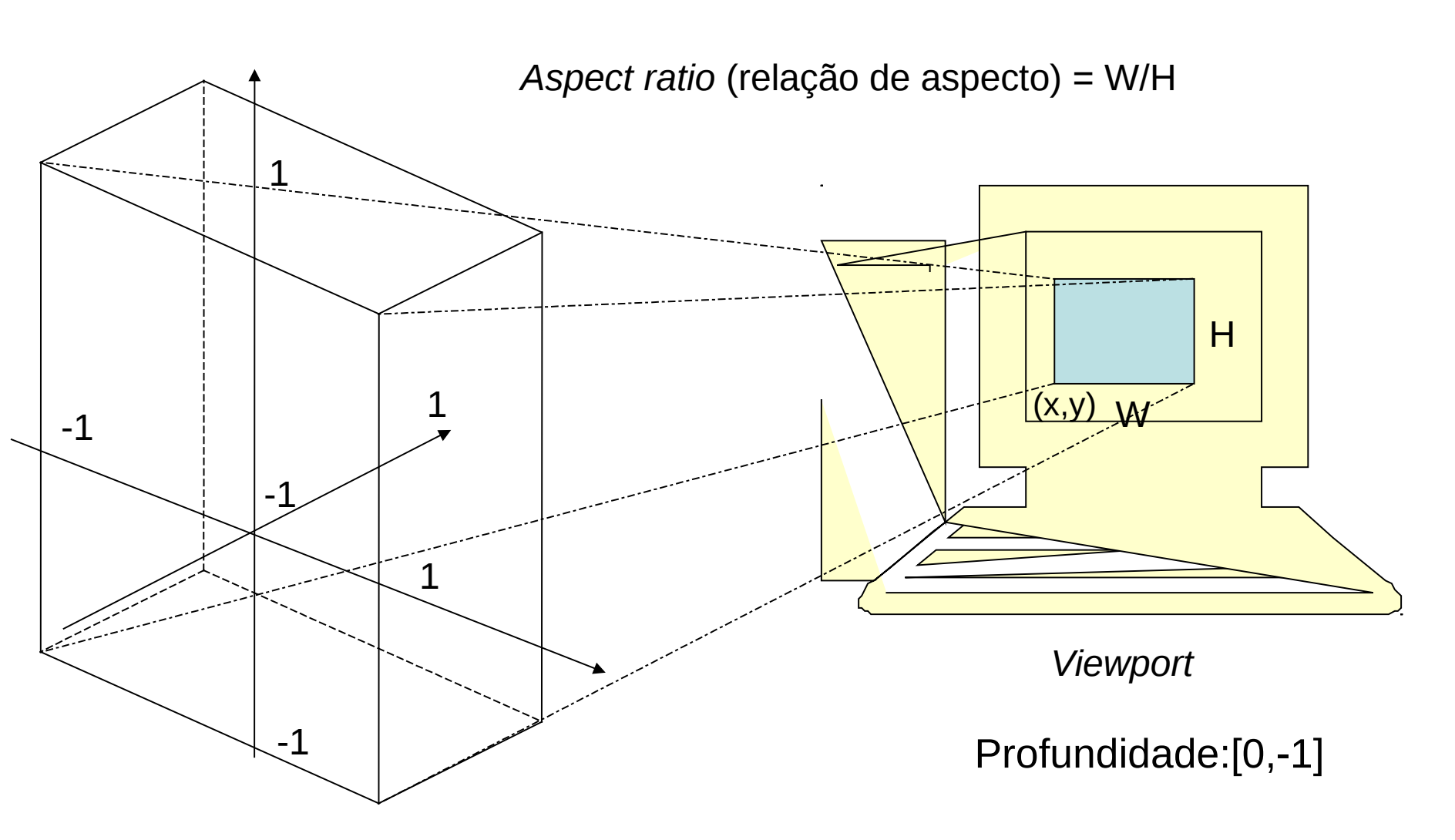


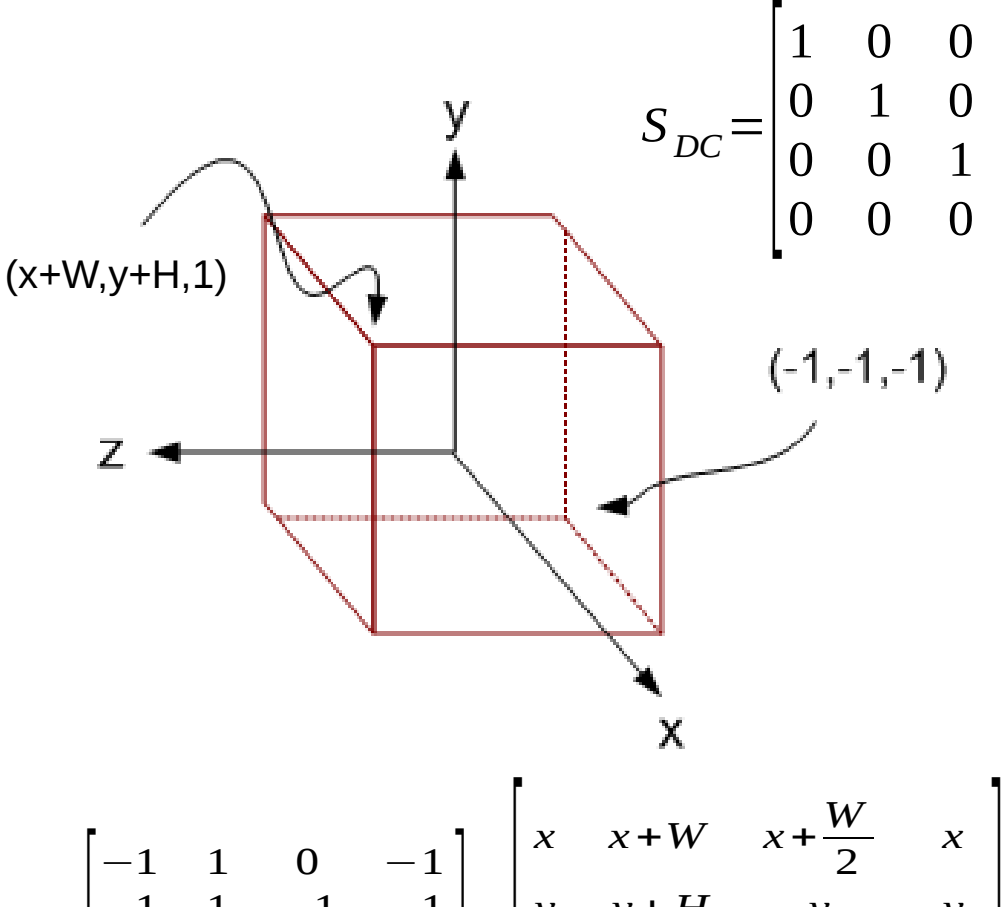
#### Normalizado



distorcido

## NDC → DC



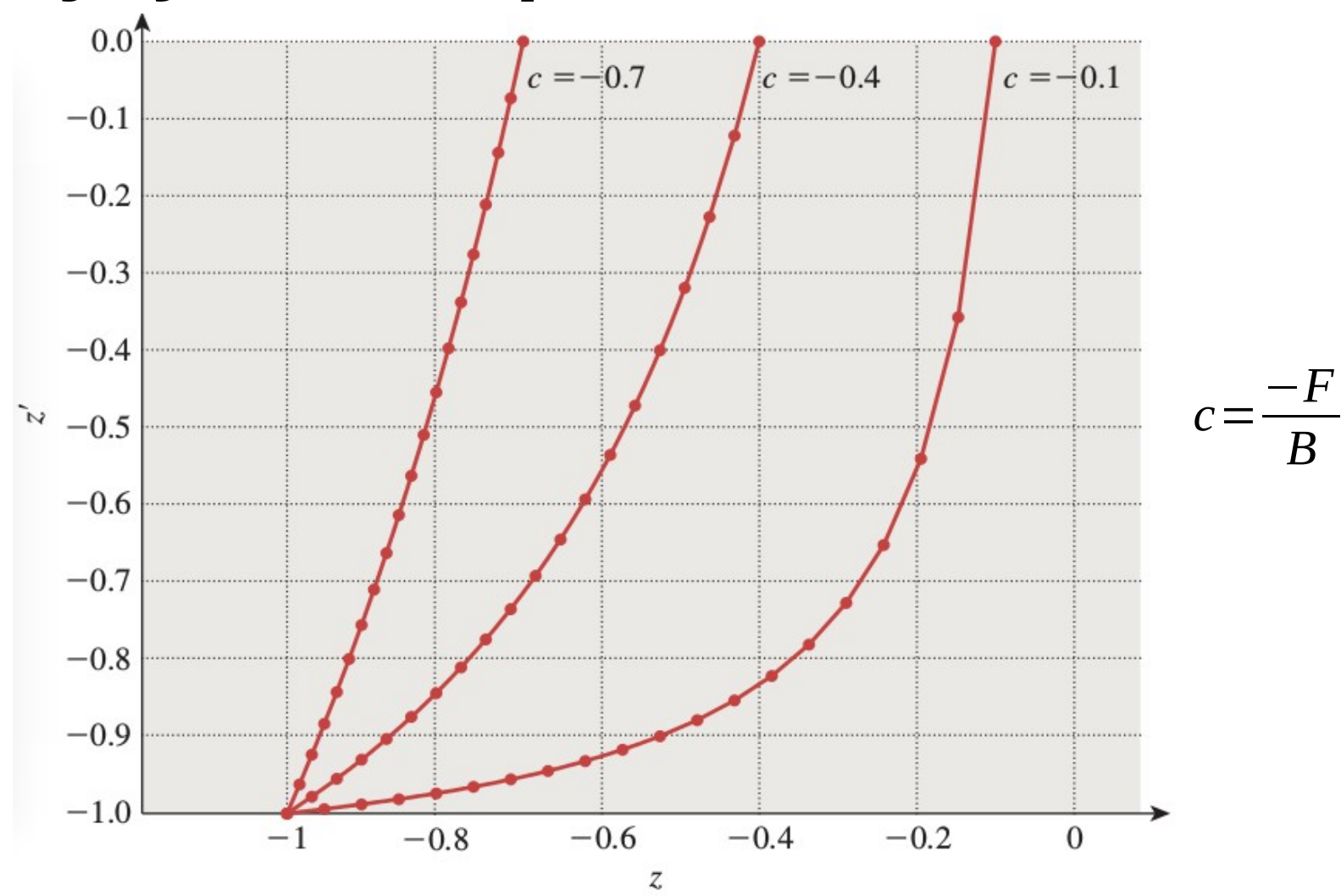


$$\begin{bmatrix} -1 & 1 & 0 & -1 \\ -1 & 1 & -1 & -1 \\ 1 & 1 & 0 & -1 \\ 1 & 1 & 1 & 1 \\ 1A725 - 1s2016 - Tlng \end{bmatrix} \rightarrow \begin{bmatrix} x & x+W & x+\frac{W}{2} & x \\ y & y+H & y & y \\ 0 & 0 & -\frac{1}{2} & -1 \\ 1 & 1 & 1 & 1 \end{bmatrix}$$

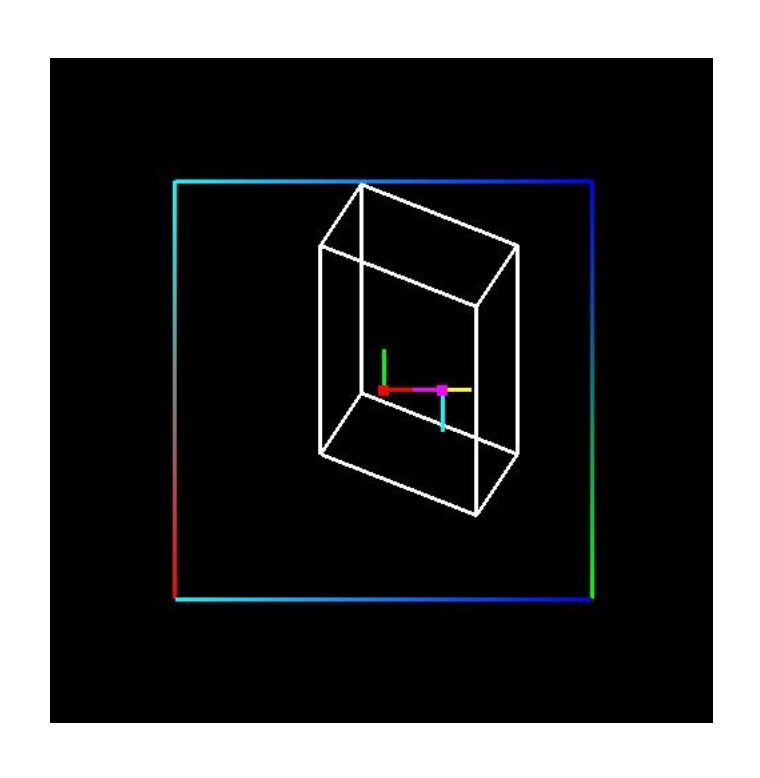
$$S_{DC} = \begin{bmatrix} 1 & 0 & 0 & x \\ 0 & 1 & 0 & y \\ 0 & 0 & 1 & 0 \\ 0 & 0 & 0 & 1 \end{bmatrix} \begin{bmatrix} \frac{W}{2} & 0 & 0 & 0 \\ 0 & \frac{H}{2} & 0 & 0 \\ 0 & 0 & \frac{1}{2} & 0 \\ 0 & 0 & 0 & 1 \end{bmatrix} \begin{bmatrix} 1 & 0 & 0 & 1 \\ 0 & 1 & 0 & 1 \\ 0 & 0 & 1 & -1 \\ 0 & 0 & 0 & 1 \end{bmatrix} = \begin{bmatrix} -1,-1,-1 \end{bmatrix}$$

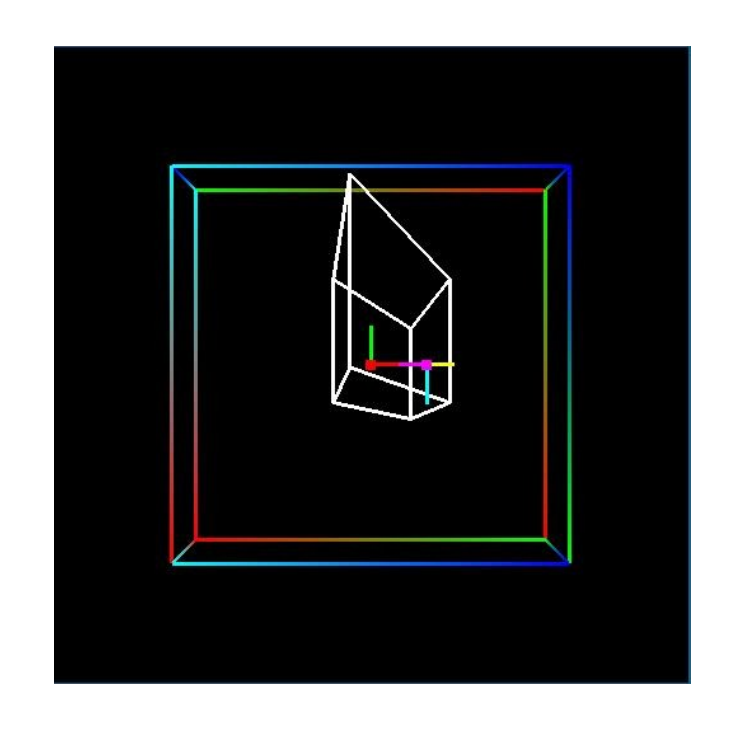
$$\begin{vmatrix} \frac{W}{2} & 0 & 0 & x + \frac{W}{2} \\ 0 & \frac{H}{2} & 0 & y + \frac{H}{2} \\ 0 & 0 & \frac{1}{2} & -\frac{1}{2} \\ 0 & 0 & 0 & 1$$

## Projeção Perspectiva e valores z



## Projeções Paralelas em DC



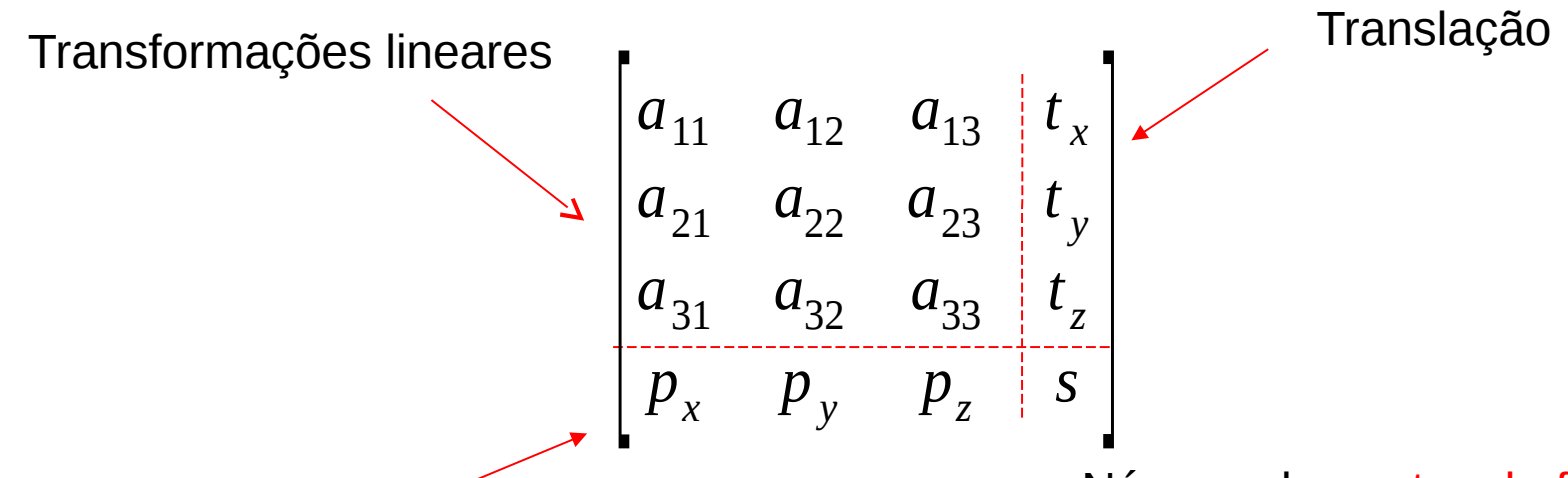


Paralela

Perspectiva

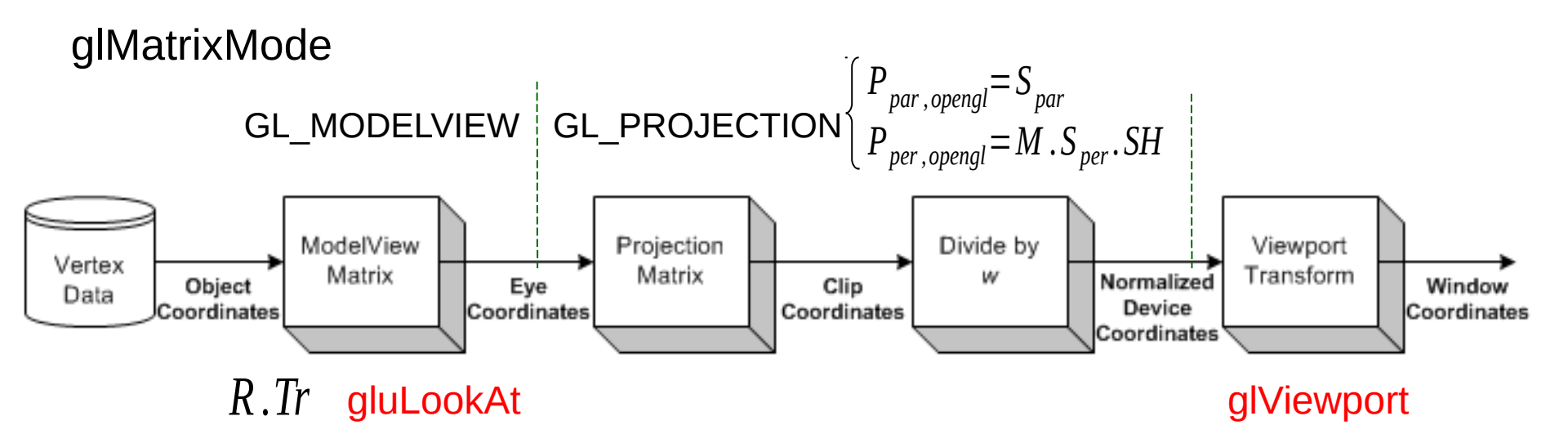
### Matriz de Transformação

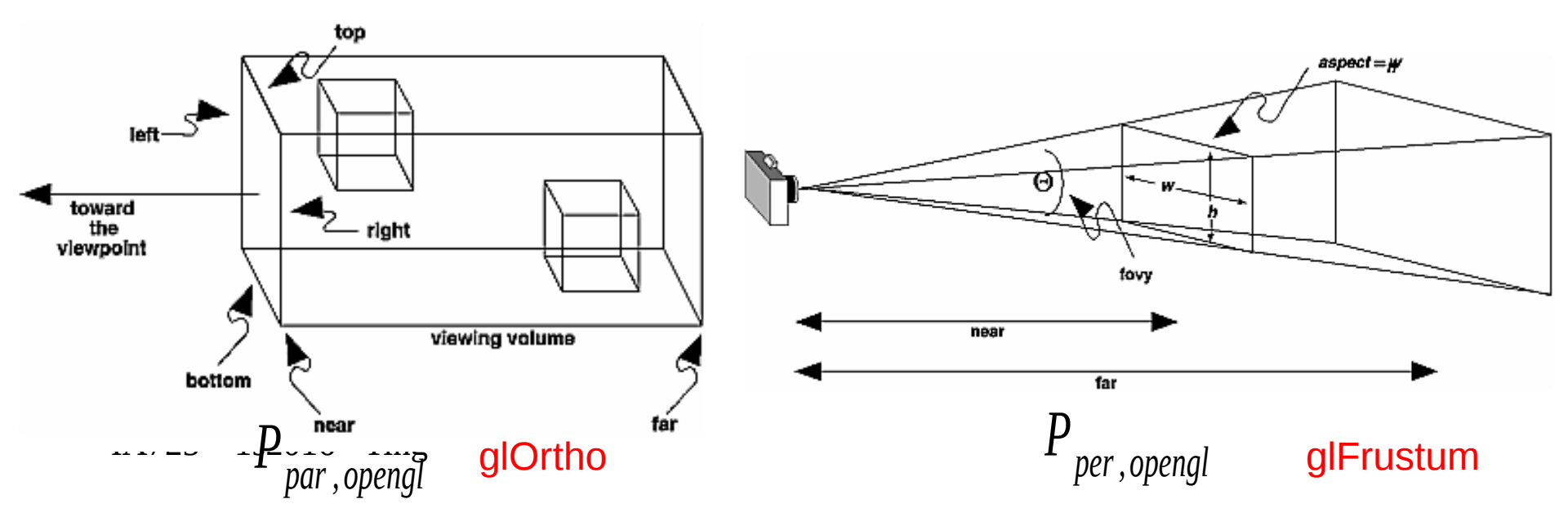
- Projeção Paralela  $P_{par} = S_{DC}.S_{par}.SH.R.Tr$
- Projeção Perspectiva  $P_{per} = S_{DC}.M.S_{per}.SH.R.Tr$



Perspectivo IA725 – 1s2016 - Ting Número de pontos de fuga: número de elementos p da última linha diferentes de zero

#### **OpenGL**



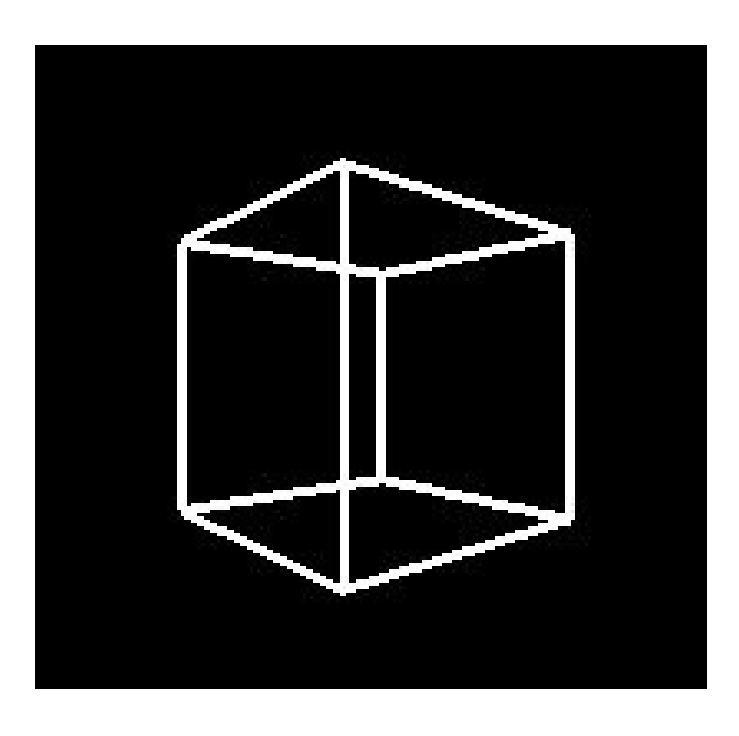


#### **OpenGL**

$$P_{par,opengl} = S_{par} = \begin{bmatrix} \frac{2}{r-l} & 0 & 0 & -\frac{r+l}{r-l} \\ 0 & \frac{2}{t-b} & 0 & -\frac{t+b}{t-b} \\ 0 & 0 & -\frac{2}{B-F} & -\frac{B+F}{B-F} \\ 0 & 0 & 0 & 1 \end{bmatrix}$$

$$P_{per,opengl} = M.S_{per}.SH = \begin{bmatrix} \frac{2F}{r-l} & 0 & \frac{r+l}{r-l} & 0 \\ 0 & \frac{2F}{t-b} & \frac{t+b}{t-b} & 0 \\ 0 & 0 & -\frac{B+F}{B-F} & -\frac{2FB}{B-F} \\ 0 & 0 & -1 & 1 \end{bmatrix}$$

### **OpenGL: 2 Pontos de Fuga**



#### glGetDoublev(GL\_PROJECTION\_MATRIX, projection);

0.667	0.000	0.000	0.000
0.000	0.667	0.000	0.000
0.000	0.000	-1.500	-2.500
0.000	0.000	-1.000	0.000

#### glGetDoublev(GL\_MODELVIEW\_MATRIX, modelview);

```
      -0.643
      0.000
      -0.766
      0.000

      0.000
      1.000
      0.000
      0.000

      0.766
      0.000
      -0.643
      -2.000

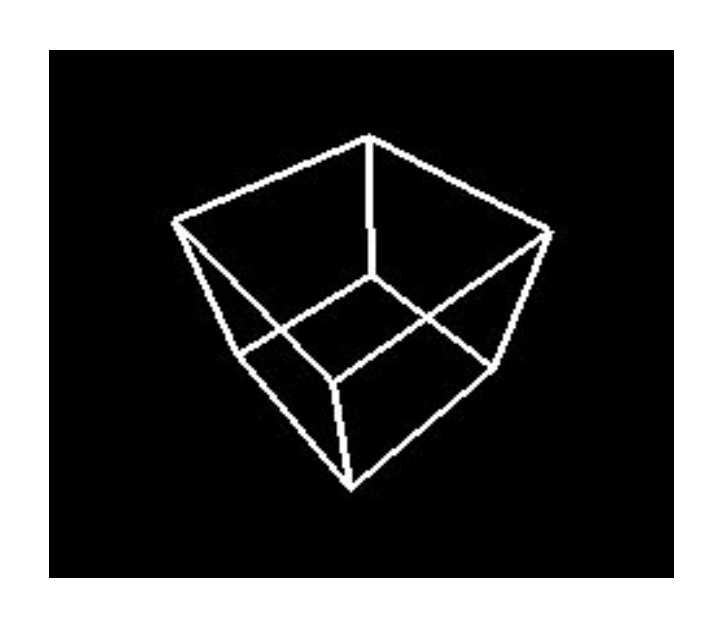
      0.000
      0.000
      1.000
```

#### projection\* modelview =

-0.429	0.000	-0.511	0.000
0.000	0.667	0.000	0.000
-1.149	0.000	0.964	0.500
-0.766	0.000	0.643	2.000
•		_	

2 pontos de fuga

#### **OpenGL: 3 Pontos de Fuga**



#### glGetDoublev(GL\_PROJECTION\_MATRIX, projection);

0.667 0.000 0.000 0.000 0.000 0.667 0.000 0.000 0.000 0.000 -1.500 -2.500 0.000 0.000 -1.000 0.000

#### glGetDoublev(GL\_MODELVIEW\_MATRIX, modelview);

0.762 -0.030 0.647 0.000 0.510 0.643 -0.571 0.000 -0.399 0.765 0.506 -2.000 0.000 0.000 1.000

#### projection\* modelview =

 0.508
 -0.020
 0.431
 0.000

 0.340
 0.429
 -0.381
 0.000

 0.598
 -1.147
 -0.759
 0.500

 0.399
 -0.765
 -0.506
 2.000

3 pontos de fuga